

FOR REFERENCE

DON'T BE TAKEN FROM THIS ROOM

ORGANİK SİVİLARIN
ISİL İLETKENLİK KATSAYILARININ HESAPLANMASI İÇİN
YENİ BİR BAĞINTI

Dr.A.Mahir Arıkol
Boğaziçi Üniversitesi
Mühendislik Fakültesi

Bogazici University Library



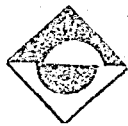
39001100543845

14

Doçentlik Tezi

Eylül, 1981

Bu çalışmanın gerçekleşmesi için
maddî ve manevî yardımlarını esirge-
meyen Boğaziçi Üniversitesi Teknoloji
ve Sistem Araştırmaları Enstitüsü ile
Mühendislik Fakültesinin tüm elemanla-
rına teşekkürü borç bilirim.



ÖZET

Bu çalışmada ıslıl iletkenlik katsayılarının hesaplanması için tüm organik sıvılara uygulanabilecek yeni bir bağıntı geliştirilmiştir. Geliştirilen bağıntının sağlam kuramsal temellere dayandırılması amacı ile Van der Waals'ın araclarında zayıf ve uzun menzilli çekici kuvvetler bulunan moleküllerden oluşan sıvı modeli benimsenmiş ve ısı aktarımı açısından molekülleri küresel simetriye sahip olan sıvıların sert küre sistemlerine eşdeğer olduğu varsayılmıştır. Böylece Enskog'un sert küreler için elde etmiş olduğu denklemleri hiç değiştirmeden kullanma olağrı doğmuştur.

İlk aşamada küresel simetriye sahip olan argon, krypton ve ksenon gibi tek atomlu sıvılar üzerinde durulmuştur. Enskog'un orijinal denklemlerinde P-V-T verilerinin sonsuz basınç uzatılması ile elde edilen sert küre çapı kullanılarak ıslıl iletkenlik katsayıları hem doygunluk eğrisi boyunca, hem de yüksek basınçlarda deneysel hata sınırları içinde kullan bir duyarlılıkla hesaplanabilmiştir.

Kuramsal yaklaşımın geçerliliği böylece kanıtlandıktan sonra çalışmanın asıl hedefi olan çok atomlu organik sıvılar ele alınmıştır. Çok atomlu bir organik sıvı ile aynı şartlardaki tek atomlu bir sıvinın ıslıl iletkenlik katsayıları arasındaki fark, söz konusu organik sıvinin ait olduğu homolog diziye özgün ve deneysel verilerin incelenmesi sonucunda am-

pirik olarak saptanabilecek bir fonksiyon olarak düşünülmüşdür. Gerçekten de normal parafinler için atmosferik basınçta ki deneysel ıslı iletkenlik katsayılarının incelenmesi sonucunda bu farkın indirgenmiş sıcaklık ve moleküldeki karbon sayısının bir fonksiyonu olarak ifade edilebileceği saptanmıştır. İzomerler için karbon zincirindeki yapı değişikliklerini hesaba katan bir düzeltme faktörü kullanılarak bu fonksiyonun denklemi en küçük kareler yöntemi ile bulunmuştur. Parafinler ile aynı şartlarda tek atomlu sıvılar için geçerli olan ıslı iletkenlik katsayıları da yine en küçük kareler yöntemi kullanılarak indirgenmiş sıcaklığın bir fonksiyonu olarak ifade edilmiş, böylece parafinlerin ıslı iletkenlik katsayıları ile indirgenmiş sıcaklık ve karbon sayısı arasında ilişki kurulan bir bağıntı elde edilmiştir.

Geliştirilen bağıntı parafinlerin yanı sıra olefin ve diolefinleri de içeren toplam 69 alifatik hidrokarbon için atmosferik basınçta ve 0.3 ile 0.8 arasındaki indirgenmiş sıcaklıklarda sınanmıştır. Kritik basınç, kritik sıcaklık, karbon sayısı ve sıcaklık gibi kolayca saptanabilen girdiler kullanılmasına karşın toplam 359 veri noktası için ortalama hatanın % 1.3, en büyük hatanın ise % 5.7 olduğu görülmüştür. Bunun yanı sıra ek girdi olarak yoğunluk kullanıldığı takdirde ıslı iletkenlik katsayılarının yüksek basınçlarda da hesaplanabileceği propan, bütan ve pentan için elde edilen sonuçlardan anlaşılmıştır.

Son olarak geliştirilen bağıntı eter, aldehid, keton ve esterleri içeren toplam 22 kutupsal sıvı üzerinde denenmiştir. Atmosferik basınçta ve 0.4 ile 0.7 arasındaki indirgenmiş sıcaklıklarda toplam 54 veri noktası için ortalama hatalanın % 2.7, en büyük hatalanın ise % 6.8 olduğu görülmüştür.

İÇİNDEKİLER

	<u>SAYFA</u>
I. GİRİŞ	1
II. YAYIN TARAMASI	4
III. KURAMSAL YAKLAŞIM	11
IV. ARGON, KRIPTON, KSENON VE METAN	17
V. ALİFATİK HİDROKARBONLAR	29
VI. ETER, ALDEHİD, KETON VE ESTERLER	51
VII. İSİL İLETKENLİK KATSAYILARININ BASINÇLA DEĞİŞMESİ ..	55
VIII. SONUÇLARIN DEĞERLENDİRİLMESİ	58
 KAYNAKLAR	62
 EK-I: FİZİKSEL SABİTLER	66
EK-2: WIENER SAYILARININ HESAPLANMASI	70

T A B L O L A R

Sayfa

1- Argon İçin Isıl İletkenlik Katsayıları -----	20
2- Kripton İçin Isıl İletkenlik Katsayıları -----	22
3- Ksenon İçin Isıl İletkenlik Katsayıları -----	24
4- Metan İçin Isıl İletkenlik Katsayıları -----	26
5- Doygunluk Eğrisi Boyunca Isıl İletkenlik Katsayıları	27
6- Alifatik Hidrokarbonların İndirgenmiş Isıl İletkenlik Katsayıları ($T_r = 0.4$) -----	47
7- Alifatik Hidrokarbonların İndirgenmiş Isıl İletkenlik Katsayıları ($T_r = 0.5$) -----	48
8- Alifatik Hidrokarbonların İndirgenmiş Isıl İletkenlik Katsayıları ($T_r = 0.6$) -----	49
9- Alifatik Hidrokarbonların İndirgenmiş Isıl İletkenlik Katsayıları ($T_r = 0.7$) -----	50
10- Eter, Aldehid, Keton ve Esterler İçin İndirgenmiş Isıl İletkenlik Katsayıları -----	53
11- Isıl İletkenlik Katsayılarının Basınçla Değişmesi --	57
12- Yeni Bağıntının Sakiadis-Coates ve Robbins-Kingrea Yöntemleri ile Karşılaştırılması -----	59

Ş E K İ L L E R

Sayfa

1- Argon İçin Isıl İletkenlik Katsayıları -----	21
2- Kripton İçin Isıl İletkenlik Katsayıları -----	23
3- Ksenon İçin Isıl İletkenlik Katsayıları -----	25
4- Metan İçin Isıl İletkenlik Katsayıları -----	28
5- Argon, Kripton, Ksenon İçin λ^* 'nın ρ_r ve T_r İle Değişmesi -----	32
6- n-Parafinler için λ_m^* 'nin T_r İle Değişmesi -----	35
7- n-Parafinler için λ_d^* 'nin N ve T_r İle Değişmesi-----	37
8- λ_d'' 'nin T_r İle Değişmesi -----	38
9- Parafinler İçin λ_d''' 'nin N İle Değişmesi -----	40
10- λ_d^* ile Wiener Sayısı Arasındaki İlişki -----	42
11- Parafinler İçin λ_d''' 'nin N İle Değişmesi -----	43
12- Hesaplanan λ^* 'ların Deneysel Verilerle Karşılaştırılması -----	45
13- Hesaplanan λ^* 'ların Deneysel Verilerle Karşılaştırılması -----	46

TERİMLER DİZİNİ

- c = konsantrasyon, (g/cm^3)
c_p = sabit basınçta özgül ısınma ısisı, ($\text{kal}/\text{gmol} \cdot {}^\circ\text{K}$)
D = özdifüzyon katsayısı, (cm^2/sn)
D_o = boru çapı, (cm)
d = moleküllerin merkezleri arasındaki uzaklık, (cm)
h = ısı aktarım katsayısı, ($\text{kal}/\text{cm}^2 \cdot \text{sn} \cdot {}^\circ\text{K}$)
J = kütle akısı, ($\text{g}/\text{cm}^2 \cdot \text{sn}$)
k = Boltzmann sabiti, ($1.38 \times 10^{-16} \text{ erg}/\text{molekül} \cdot {}^\circ\text{K}$)
M = mol ağırlığı, (g/gmol)
N = hidrokarbon molekülündeki karbon sayısı
N_o = Avogadro sayısı, ($6.023 \times 10^{23} \text{ molekül/mol}$)
P = basınç, (atm)
P_c = kritik basınç, (atm)
q = ısı akısı, ($\text{kal}/\text{cm}^2 \cdot \text{sn}$)
R = ideal gaz sabiti ($\text{atm} \cdot \text{cm}^3/\text{gmol} \cdot {}^\circ\text{K}$)
r = moleküllerin merkezleri arasındaki uzaklık, (\AA)
r_o = moleküller arası enerjinin sıfır olduğu uzaklık, (\AA)
T = mutlak sıcaklık, (${}^\circ\text{K}$)
T_b = normal kaynama noktası, (${}^\circ\text{K}$)
T_c = kritik sıcaklık, (${}^\circ\text{K}$)
T_m = akışkanın ortalama sıcaklığı, (${}^\circ\text{K}$)
T_r = indirgenmiş sıcaklık, (boyutsuz)
T_s = boru cidarının sıcaklığı, (${}^\circ\text{K}$)

- t' = sıcaklık, ($^{\circ}$ F)
- u_s = sesin sıvı içinde yayılma hızı, (cm/sn)
- V = hacim (cm^3/gmol)
- V_c = kritik hacim (cm^3/gmol)
- v = hız, (cm/sn)
- x = uzaklık, (cm)
- Z = sıkıştırılabilme faktörü, (boyutsuz)
- Re = Reynolds sayısı, (boyutsuz)
- Pr = Prandtl sayısı, (boyutsuz)
- γ = sabit basınç ve sabit hacimdaki özgül ısınma ısları-
nin oranı, (boyutsuz)
- ϵ = moleküller arası en büyük çekici enerji (erg/molekül)
- λ = sıvının ısıl iletkenlik katsayısı, (kal/cm-sn- $^{\circ}$ K)
- λ_d = çok atomlu ve tek atomlu sıvıların ısıl iletkenlik
katsayıları arasındaki fark, (kal/cm-sn- $^{\circ}$ K)
- λ_m = tek atomlu bir sıvının ısıl iletkenlik katsayısı,
(kal/cm-sn- $^{\circ}$ K)
- λ_o = seyreltik gazın ısıl iletkenlik katsayısı,
(kal/cm-sn- $^{\circ}$ K)
- λ^* = indirgenmiş ısıl iletkenlik katsayısı, (boyutsuz)
- λ_h^* = homomorfun indirgenmiş ısıl iletkenlik katsayısı,
(boyutsuz)
- λ'_{kd} = kutupsal sıvı ile homomorfunun indirgenmiş ısıl ilet-
kenlik katsayıları arasındaki fark, (boyutsuz)
- μ = viskozite, (g/cm-sn)
- ρ = yoğunluk (gmol/cm^3)
- σ = sert küre çapı, (\AA)
- τ = momentum akışı, ($\text{g}/\text{cm-sn}^2$)
- ϕ = moleküller arası potansiyel fonksiyonu, (erg/molekül)
- ΔH_v = normal kaynama noktasındaki buharlaşma ısısı, (kal/gmol)

I. GİRİŞ

İsıl iletkenlik katsayısı λ , ısı akısının, sıcaklığın aktarım doğrultusundaki uzaklıkla değişmesine oranı olarak tanımlanmaktadır:

$$\lambda \equiv -q / (\partial T / \partial x) \quad (I-1)$$

(I-1) denklemindeki eksi işaretin ısınin azalan sıcaklık doğrultusunda aktığını göstermektedir.

Sıvıların isıl iletkenlik katsayılarının teknolojik uygulamalar açısından çok büyük önem taşıdığı açıklıdır. Organik veya inorganik her tür sıviya ait isıl iletkenlik katsayılarının ısı aktarımı problemlerini içeren tüm mühendislik projelerinde kullanıldıkları bilinmektedir. Örneğin, klâsik ve basit bir ısı aktarımı problemi olan, boru içinde akan bir sıvıyı belli bir sıcaklığa ısıtmak için gerekli ısı akısının hesaplanması aşağıdaki formüllerle gerçekleştirilmektedir:

$$q = h(T_s - T_m) \quad (I-2)$$

$$h = 0.023 \frac{\lambda}{D_0} (Re)^{0.8} (Pr)^{0.4} \quad (I-3)$$

Göründüğü gibi, problemin çözümü için gerekli olan ısı aktarım katsayısı h 'nın hesaplanması sıvının isıl iletkenlik katsayısının bilinmesini gerektirmektedir. Kısacası, isıl iletkenlik katsayıları, mühendislik uygulamalarında sonuca varmak için bilinmesi zorunlu olan veri niteliğindedirler.

Buna karşın Mc Laughlin(22) tarafından ayrıntılı olarak tartışılan deneysel güçlükler nedeni ile bu önemli fiziksel özellige ait veriler oldukça az olup, mevcut veriler de araştırmacıdan araştırmaciya önemli farklılıklar göstermektedir(29). Örneğin, bu alanda en büyük katkıyı yapan ve çok güvenilir birer kaynak olarak kabul edilen Sakiadis ve Coates ile Riedel'in deneysel verileri arasında % 5-10 dolayında sapmalar görülmektedir(31). Başka bir örnek ise, ısıl iletkenlik katsayısı ölçümleri için standart olarak kullanılan bifenile ait yayınlanan değerler arasında bile % 12-18'e varan sapmalar bulunmasıdır(49). Bu örneklerden de anlaşılabileceği gibi, ısıl iletkenlik katsayılarının doğru olarak ölçülmesi ancak son derece dikkatli bir şekilde kontrol edilen deney şartlarında ve son derece duyarlı cihazlar kullanılarak gerçekleştirilebilmektedir.

(I-1) denklemi, viskozite ve özdifüzyon katsayılarını tanımlayan aşağıdaki denklemler ile karşılaştırılırsa, bu üç katsayı arasındaki temel benzerlik ortaya çıkar:

$$\mu \equiv -\tau / (\partial v / \partial x) \quad (I-4)$$

$$D \equiv -J / (\partial c / \partial x) \quad (I-5)$$

Ancak bu benzerliğin, ısi, momentum ve kütle aktarımının moleküller düzeyde aynı şekilde olduğu şeklinde yorumlanabilmesi diğer bazı bulgular nedeni ile tartışma konusudur: Horrocks ve McLaughlin(18) viskozite ile özdifüzyon katsayısının artan sıcaklığın üstel bir fonksiyonu olarak azalmasına

karşın, ısil iletkenlik katsayısı için bu azalmanın doğrusal olmasına ve ısil iletkenlik katsayısının diğer iki katsayıının aksine izotoplar için molekül ağırlığının kare kökü ile doğru orantılı olduğuna dikkati çekerek, sıvılar için moleküller ısı aktarımı mekanizmasının kütle ve momentum aktarımı mekanizmasından farklı olabileceğini ileri sürmüştür. Bugün için moleküller ısı aktarımı olayın tam olarak anlaşıldığını söylemek olanaksızdır.

Göründüğü gibi, hem deneysel açıdan, hem de kuramsal açıdan sıvıların ısil iletkenlik katsayıları konusunda giderilmesi gereken birçok eksiklikler bulunmaktadır. Bu katsayıları doğru olarak hesaplamak sureti ile deneysel verilerdeki eksiklikleri karşılayarak uygulayıcılara kolaylık sağlayacak olan yöntemlere büyük gereksinme olduğu ortadadır. Özellikle, ısı aktarımı olayına da moleküller düzeyde ışık tutabilme açısından bu yöntemlerin sağlam kuramsal temellere dayandırılması yararlı olacaktır. Bunun yanısına mümkün olduğu kadar az sayıda ve kolaylıkla saptanabilen girdi kullanılması da yöntemin kapsamının geniş tutulabilmesi ve kolaylıkla uygulanabilmesi açısından arzu edilen hususlardır. Bu çalışmanın amacı, tüm bu noktalara özen gösterilerek organik sıvıların ısil iletkenlik katsayılarının hesaplanması için yeni bir yöntemin geliştirilmesidir.

II. YAYIN TARAMASI

İsıl iletkenlik katsayılarının hesaplanması için yöntemler geliştirilmesi amacı ile yaygın ve ayrıntılı araştırmalar yapılmış olduğu bu konudaki bol ve çeşitli yayınlardan anlaşılmaktadır. Bu çalışmaların bir kısmı Pachaiyappan ve arkadaşlarınınki gibi tamamıyla ampirik niteliktir(26): Boyutsal analiz sonucunda organik sıvıların isıl iletkenlik katsayıları için aşağıdaki denklem bulunmuştur:

$$\left| \lambda V \right| \left| c_p \Delta H_v^{\frac{1}{2}} \sigma \right| = 5.6 \times 10^{-3} (M)^{1.26} \quad (\text{II-1})$$

(II-1) denklemi 51 organik sıvı üzerinde denenmiş ve ortalama hata % 11, en büyük hata ise % 44 olarak saptanmıştır.

Ampirik yöntemler arasında Cragoe'nin(14) çeşitli petrol yağları için önerdiği aşağıdaki denklem gibi sadece belirli bir sıvı türü için geçerli olanlar çoğuluktadır:

$$= 0.0677 \rho^{-1} \left| 1.0 - 0.0003(t' - 32) \right| \quad (\text{II-2})$$

(II-2) denklemi deneyel değerler ile karşılaştırıldığında ortalama hatanın % 12, en büyük hatanın ise % 39 olduğu saptanmıştır.

Weber'in(14) 1880'de ortaya attığı ve isıl iletkenlik katsayısı ile sabit basınçtaki özgül ısınma ısısı (c_p) ve yoğunluk (ρ) arasında ilişki kurulan bağıntı ise bugüne kadar di-

ger araştırmacılar tarafından değiştirilerek birçok kez kullanılmıştır. Bunlardan en başarılısı ise Robbins ve Kingrea'ya aittir(32):

$$\lambda = f c_p \rho^{4/3} \quad (\text{II-3})$$

(II-3) denklemindeki f terimi normal kaynama noktası, normal kaynama noktasındaki buharlaşma ısısı, indirgenmiş sıcaklık ve bu yönteme özgün diğer iki parametrenin bir fonksiyonu olup 32 No.lu kaynakta ayrıntılı olarak anlatılmıştır.

Robbins-Kingrea bağıntısı değişik türden 70 organik sıvı için 0.5 ile 0.7 arasındaki indirgenmiş sıcaklıklarda denenmiş ve deneysel verilerden sapmaların çoğunlukla % 5'in altında kaldığı gözlenmiştir. Bu nedenle organik sıvıların ısıl iletkenlik katsayılarının hesaplanması için en güvenilir yöntemlerden biri olarak kabul edilmektedir(31). Isı aktarımı olayın moleküller düzeyde daha iyi anlaşılması açısından kuramsal bir katkısı olmayan ve burada daha fazla yer verilmesine gerek görülmeyen ampirik yöntemlerin diğer başarılı ve çok kullanılan örneklerini Gambill'in bir derlemesinde(14) bulmak mümkündür.

Kuramsal bir çıkış noktasından başlayarak geliştirilen yöntemler ise iki grupta toplanabilir:

- (i) Moleküller ısı aktarımı modellerine dayanan yöntemler
- (ii) İstatistiksel mekanik kuramlarına dayanan yöntemler.

İlk gruba ait çalışmalar hakkında yine Gambill'in derlemesinde(14) ayrıntılı bilgiler bulunabilir. Bunlar arasında en önemli olan ikisi Bridgman(14,38) ve Eyring'in(16) çalışmalarıdır.

Bridgman, sıvı moleküllerinin bir kübün köşelerini oluşturacak biçimde dizildiklerini ve ısı aktarımının ses dalgalarının yayılmasına benzer şekilde uzunlamasına moleküler titreşimlerle gerçekleştigini varsayımıştır. Her molekülün toplam enerjisinin de $3kT$ olduğunu kabul ederek ısıl iletkenlik katsayısı için sesin sıvı içindeki yayılma hızı u_s ile molekülerin merkezleri arasındaki uzaklık olan d 'yi içeren aşağıdaki denklemi önermiştir:

$$\lambda = 3 k u_s / d^2 \quad (\text{II-4})$$

Bridgman'dan sonra Kardos(38), aynı moleküller ısı aktarımı modelini daha değişik bir biçimde yorumladı. Isının yayıldığı doğrultuya dik olan molekül dizilerinin yüzeyleri arasındaki toplam enerji farkından giderek molekülerin merkezleri arasındaki uzaklık yerine yüzeyleri arasındaki uzaklıği ve sıvının yoğunluğu (ρ) ile sabit basınçtaki özgül ısınma ısısını (c_p) kullandı:

$$\lambda = \rho L u_s c_p \quad (\text{II-5})$$

Bitişik molekülerin yüzeyleri arasındaki uzaklık olan L , Kardos tarafından sabit kabul edilmiş ve 3.12×10^{-10} ft. değeri kullanılarak 28 sıvı için hesaplanan ısıl iletkenlik

katsayıları ile deneysel veriler arasında ortalama hata % 23, en büyük hata ise % 104 olarak bulunmuştur.

Sakiadis ve Coates(38) oldukça yetersiz olan bu sonuçların kuramsal bir hata yerine L'nin sabit olduğu varsayımanın kaynaklandığını düşünerek, L'nin her sıvı için değişken olduğunu ve hassas olarak saptandığı takdirde hesaplanacak ısıl iletkenlik katsayılarının deneysel verilerle çok daha iyi uyum sağlayacağını ileri sürdüler. Gerçekten de bu araştırmacılar x-ışını difraksiyonu çalışmaları sonucunda saptanan L değerlerini kullanarak (II-5) denklemini hem kutupsal hem de kutupsal olmayan organik sıvılara büyük bir başarı ile uyguladılar. 80'den fazla sıvı için ortalama hata % 2.6 olup (38) bu yöntemin bugüne kadar önerilenlerin en iyisi olduğu söylenebilir. Ancak (II-5) denkeminin önemli bir dezavantajını da burada belirtmek yerinde olacaktır: Bu denklemde kullanılan değişkenlerden ikisinin, L ve u_s 'nin, ölçümleri oldukça zor olduğundan, değerleri bir çok sıvı için bilinmemekte, bu da yöntemin yaygın bir şekilde kullanılmasını engellemektedir.

Eyring ve arkadaşları(16) ise daha değişik bir kuramsal yaklaşım kullandılar. Sıvılardaki ısı transferi için moleküllerin sadece ötelenmeli ve dönmeli serbestlik derecelerinin önemli olduğunu varsayıarak kinetik gaz kuramının ısıl iletkenlik katsayısı için öngördüğü denklemi aşağıdaki gibi değiştirdiler:

$$\lambda = 0.931 (3k) (\gamma)^{\frac{1}{2}} (N_o/V)^{2/3} u_s \quad (II-6)$$

Görüldüğü gibi (II-6) denkleminde de (II-5) denkleminde olduğu gibi ses hızı, u_s , bir girdidir. Ancak bu dezavantajına karşın Bridgman'ın orijinal denkleminden biraz daha iyi sayısal değerler vermesi nedeni ile başka araştırcıları da aynı doğrultuda çalışmalar yapmaya yöneltmiştir(48).

Istatistiksel mekanik kuramlarına dayanan yöntemlere gelince, bunların bugüne kadar yukarıda kısaca bahsedilen yöntemlere göre çok daha başarısız olduklarını belirtmek yerinde olacaktır. Bugüne kadar bu yöntemler arasında en başarılı olanı Horrocks ve McLaughlin'in çalışmasıdır(18): Sıvı moleküllerinin kristalik bir yapıya sahip olduğu ve ısı aktrımının moleküllerin denge konumları etrafında titreşimler yapması ile gerçekleştiği öne sürülmüştür. Moleküllerin titreşim yaptıkları frekans ise moleküller arası potansiyelin Lennard-Jones 6-12 potansiyeli olduğu varsayılarak hesaplanmıştır. Bu yöntem, moleküllerinin küresel simetrisi olduğu kabul edilen argon, metan, karbontetraklorür, benzen gibi sıvılar üzerinde denenmiş ve deneyel değerlerden ortalama sapmanın % 20 olduğu görülmüştür. Ancak bu sonuçların yeterli olmadığı açıklıdır. Bunun yanısıra normal kaynama noktasının üzerinde sıvının kristalik bir yapısı olması da tartışma konusudur(22). Bu nedenle bu yöntemin normal kaynama noktasının üstündeki sıcaklıklar için kullanılması tavsiye edilmemektedir.

Horrocks ve McLaughlin'in çalışmasından başka istatistiksel mekanik kuramlarından kaynaklanan birçok araştırmalar daha yapılmış ve yapılmaktadır. Bunların bir kısmı Enskog'un "sert küre" modeli üzerinde yoğunlaştırılmış, bir kısmında ise Lennard-Jones 6-12 potansiyeli gibi daha gerçekçi modeller denenmiştir. Tüm çabalara ve yüksek düzeyde matematiksel analizlere karşın, bu çalışmaların bazıları son derece başarısız olmuş, başarılı olanlar ise sadece argon gibi basit sıvılar üzerinde denenmiştir. Daha karmaşık moleküller için aynı derecede başarılı olup olamayacakları henüz bilinmemektedir. İstatistiksel mekanik kuramlarına dayanan yöntemler hakkında daha ayrıntılı bilgi almak isteyenler için McLaughlin'in bir derlemesinin(22) çok iyi bir kaynak olduğu söylenebilir.

Son yıllarda ise bilgisayarlardan yararlanılarak kuramsal modeller ile deneysel veriler arasındaki sapmaların incelenmesi sonucu elde edilen çeşitli bağıntılar ısıl iletkenlik katsayılarının hesaplanması için önerilen yöntemler arasında ağırlık kazanmaya başlamıştır. Çoğunlukla karşılaştırmalı haller ilkesi(27) bu tür bağıntıların temelini oluşturmaktadır. Örneğin Hanley(15) bu ilkeden ve Enskog kuramından yararlanarak hem sıvılar hem de gazlar için kullanılabilcek bir yöntem geliştirmiştir, Murad ve Gubbins(23) ise sadece karşılaştırmalı haller ilkesinden yararlanan bir bağıntı önermiştir. Her iki yöntem ile de ısıl iletkenlik katsayılarının deneysel hata sınırları içinde kalan bir duyarlılıkla

hesaplanabilmesine karşı, uygulanabilmeleri için söz konusu sıvının P-V-T verilerinin bilinmesi gereklidir. Bunu gözönünde tutan Christensen ve Fredenslund(5) P-V-T verilerine gereksinme göstermeyen fakat bu iki yöntem kadar iyi sonuç veren daha değişik bir model geliştirmiştir. Ancak bu yöntemin uygulanabileceği sıvıların sayısı oldukça kısıtlıdır.

Karşılaştırmalı haller ilkesinden yararlanan en yeni yöntem ise Teja ve Rice(44) tarafından önerilmiştir: Herhangi bir sıvının ısıl iletkenlik katsayısı uygun iki referans sıvının ısıl iletkenlik katsayıları bilindiği takdirde aşağıdaki denklem yardımıyla hesaplanabilmektedir:

$$\lambda\theta = \lambda\theta^{(1)} + \frac{\omega - \omega^{(1)}}{\omega^{(2)} - \omega^{(1)}} \left| \begin{array}{l} \lambda\theta^{(2)} - \lambda\theta^{(1)} \\ \end{array} \right| \quad (\text{II-7})$$

(II-7) denkleminde $\lambda\theta$, sıvının verilen sıcaklık ve basınçtaki indirgenmiş ısıl iletkenlik katsayısını; $\lambda\theta^{(1)}$ ve $\lambda\theta^{(2)}$, referans sıvılarının bu sıvı ile aynı indirgenmiş sıcaklık ve basınçtaki indirgenmiş ısıl iletkenlik katsayılarını; ω , $\omega^{(1)}$ ve $\omega^{(2)}$ ise bu sıvıların asentrik faktörlerini (28) göstermektedir. Bu yöntemin deneysel hata sınırları içinde kalan sonuçlar vermesine karşı her sıvı için uygun iki referans sıvısı bulunamayabilir. Yine de bu tür yarı kuantitatif bağıntılar bugün için sıvıların ısıl iletkenlik katsayılarının hesaplanmasıında en geçerli yöntemler olarak kabul edilmektedir.

III. KURAMSAL YAKLAŞIM

Giriş kısmında da belirtildiği gibi bu çalışmanın amaçlı organik sıvıların ısıl iletkenlik katsayılarının hesaplanması sağlanacak, sağlam kuramsal temellere dayanan bir yöntemin geliştirilmesidir. Geçerliliği mevcut deneysel verilerle karşılaştırılarak kanıtlanacak olan böyle bir yöntem, ısıl iletkenlik katsayıları hiç ölçülmemiş olan sıvılar için de güvence ile kullanılarak mühendislik uygulamalarına kolaylık getirecektir.

Geliştirilecek olan yöntemin kuramsal açıdan sağlam ve tutarlı olması arzu edildiğine göre aşağıdaki öğelerin tek tek ve birbirleri ile uyumlu olarak ele alınması gerekmektedir:

(i) Sıvının moleküler yapısı, (ii) moleküller arası potansiyel fonksiyonu, (iii) moleküler ısı aktarımı mekanizması.

Bu çalışmada sıvının moleküler yapısının Van der Waals'ın sıvı kavramına uyduğu kabul edilecektir. Bu kavram sıvı metallerin özdifüzyon katsayılarını ve viskozitelerini hesaplamakta başarılı olduğundan(1,46,47) ısıl iletkenlik katsayıları için de denenmesinin yerinde olacağı düşünülmüştür. Van der Waals kavramına göre sıvı molekülleri arasındaki çekici kuvvetler zayıf ve uzun menzilli olup komşu moleküller birbirlerinin çekici kuvvetlerini dengelediklerinden her molekü-

lün üzerindeki bileşkeleri ihmali edilebilmektedir. Bunun sonucu olarak moleküllerin birbirleri ile çarpışmadıkları sürece düz bir yörunge üzerinde hareket ettikleri düşünülmektedir. Böyle bir sıvı için hal denklemi aşağıdaki kuvvet dizisinin ilk iki teriminden oluşacaktır:

$$PV/RT = A_0 + A_1/T + A_2/T^2 + \dots \quad (\text{III-1})$$

Argon, ksenon gibi asal gazların sıvıları için bu yaklaşımın oldukça geçerli olduğu, deneysel P-V-T verileri üzerinde bir inceleme yapan Clippe ve Evrard(6) tarafından yukarıdaki dizinin üçüncü terimden sonra yakınsadığı gösterilerek kanıtlanmıştır. Moleküller arası çekici kuvvetlerin birbirini tam olarak dengeleyememesini yansitan A_2 teriminin ise ilk iki terimden bir mertebe daha küçük olduğu (9) ve özdifüzyon, viskozite, ısıl iletkenlik katsayıları gibi aktarım özellikleri üzerindeki etkisinin oldukça az olduğu(10,24) gözlenmiştir.

Moleküller arası potansiyel fonksiyonuna gelince, en basit moleküllerle işe başlamanın ve yöntem başarılı olursa giderek daha karmaşık olanlarını incelemenin yerinde olacağı düşünülmüş ve ilk aşamada ele alınacak moleküllerde küresel simetri koşulu aranmıştır. Böyle moleküller için en başarılı ve gerçekçi potansiyel fonksiyonunun Lennard-Jones 6-12 potansiyeli olduğu bilinmektedir:

$$\phi(r) = 4 \epsilon \left| \left| r_o/r \right|^{12} - \left| r_o/r \right|^6 \right| \quad (\text{III-2})$$

Ancak Van der Waals kavramına göre çekici kuvvetlerin etkisi ihmali edilebileceğinden bu çalışmada çok daha basit olan sert küre potansiyelinin geçerli olduğu kabul edilecektir:

$$\phi(r) = -\infty \quad r = \sigma \quad (\text{III-3a})$$

$$\phi(r) = 0 \quad r > \sigma \quad (\text{III-3b})$$

Son olarak moleküller ısı aktarımı mekanizmasına değil eklektir. İlk aşamada, yine mümkün olan en basit modelin önerilmesinin uygun olacağı düşünülmüştür. Buna göre ısı aktarımı hem moleküllerin yer değiştirmesi sonucu taşınım yolu ile hem de moleküller arasındaki çarpışmalar sonucu gerçekleşmektedir. Ancak sıvılar için normal donma ve kaynama noktaları arasında taşınım yolu ile ısı aktarımının katkısı moleküller arasındaki çarpışmalara oranla çok daha az olacaktır(22). Bu çarpışmalarda moleküllerin birbirlerine göre konumlarında her açının aynı olasılıkta olduğu ve belli bir molekul izlendiğinde bu molekülün her yeni çarpışmasının önceki çarpışmalardan bağımsız olduğu varsayılacaktır.

Bu varsayımlara moleküller arası potansiyel fonksiyonunun sert küre potansiyeli olarak kabul edilmesi de eklenince, geliştirdiğimiz modele göre bir sıvının ısı aktarımı açısından bir sert ve elastik küre sistemi ile eşdeğer olduğu anlaşılmaktadır. Böylece Enskog'un istatistiksel mekanik yöntemleri ile sert küreler için elde ettiği sonuçları hiçbir şekilde

de değiştirmeden kullanmak olasılığı ortaya çıkmış olmaktadır.

İlk bakışta şaşırtıcı gelebilecek olan bu sonuç yapılmış olan iki varsayımdan kaynaklanmaktadır:

(i) Moleküllerin hareket halindeki yörüngesinin düz bir çizgi olması, (ii) belli bir molekülün her yeni çarpışmasının o molekülün önceki çarpışmalarından bağımsız olması.

Aslında her iki varsayımda tam anlayıla doğru olmayıp hatalara neden olacakları bilinmektedir. Gerçekten de, sert küreler için çarpışmalar arasındaki bağımlılık gözönüne alınarak yapılan hesaplar Enskog denkleminin gerçek değerlerin yaklaşık % 10 altında sonuç verdiği göstermiştir(8). Öte yandan moleküller arasındaki çekici kuvvetlerin birbirlerini tam anlayıla dengeleyememesinden doğacak olan hatanın da aynı oranda (% 10) olduğu söylenebilir(20). Bu da moleküllerin çizecekleri yörüngelerin düz çizgilerden sapmasına ve çarpışmalar arasındaki bağımlılığın azalmasına neden olacaktır(9). Sonuç olarak, her iki varsayımdan doğacak hataların zıt yönde ve yaklaşık olarak aynı oranda olduğu ve bu neden ile Enskog denkleminin gerçek değerlere en uygun sayısal değerleri vermesinin bekendiği anlaşılmaktadır.

Enskog denkleminin geçerliliğini böylece belirttikten sonra biraz daha ayrıntılı olarak incelemek yerinde olacaktır. Bu denkleme göre, yukarıda anlatılan varsayımlara uygun özellikleri olan bir sıvının ısıl iletkenlik katsayıları aşa-

gödaki gibi ifade edilmektedir(9):

$$\lambda = 4y\lambda_0 \left| \frac{1}{(Z-1)} + 1.2 + 0.755(Z-1) \right| \quad (\text{III-4})$$

(III-3) denkleminde yer alan Z terimi sert küreler için geçerli olan sıkıştırılabilme faktörüdür. Son yıllarda literatürde bu faktörü hesaplamak için çeşitli ifadeler önerilmiş bulunmaktadır. Bunlar arasında en başarılı olanı Carnahan ve Starling'e aittir(4):

$$Z = (1 + y + y^2 - y^3)/(1 - y)^3 \quad (\text{III-5a})$$

$$y = b_0 \rho / 4 \quad (\text{III-5b})$$

$$b_0 = 2\pi N_0 \sigma^3 / 3 \quad (\text{III-5c})$$

Enskog denkleminde yer alan λ_0 ise sıvının seyreltik gaz fazındaki ısıl iletkenlik katsayısı olup kinetik gaz kuramına göre(9)

$$\lambda_0 = \left| 2.038 \times 10^{-4} (T/M)^{\frac{1}{2}} \right| / \sigma^2 \quad (\text{III-6})$$

şeklinde ifade edilebilir.

(III-4), (III-5a-c) ve (III-6) denklemleri incelediğinde sıvıların ısıl iletkenlik katsayılarını hesaplamak için arzu edilen niteliklerde bir yöntem geliştirilmiş olduğu anlaşılmaktır. Sağlam kuramsal temellere dayanmasının yanısıra sıcaklık, molekül ağırlığı ve yoğunluk gibi kolaylıkla saptanabilen girdiler kullanılmaktadır. Bulunmasında zorlukla karşılaşılabilecek tek girdi sert küre çapıdır.

Buna karşın, (III-6) denkleminin sadece tek atomlu gazlar için geçerli olduğu gözden kaçırılmamalıdır. Dolayısı ile (III-4) denkleminin de ancak bu gazların sıvıları için geçerli olacağı açıklıdır. İlk bakişta geliştirilen yöntem için çok önemli bir kısıtlama gibi gözüken bu duruma daha sonraki bölmelerde sert küre çapının saptanması konusu ile birlikte çözüm getirilecektir. Ancak daha önce yöntemi argon, kripton ve ksenon gibi asal gazların sıvıları üzerinde deneyerek geçerliliğini kanıtlamak yerinde olacaktır.

IV. ARGON, KRIPTON, KSENON VE METAN

Geliştirilen yöntem, ilk aşamada, geçen bölümde ileri sürülen tüm koşullar, varsayımlar ve (III-6) denkleminin yarattığı kısıtlama açısından en uygun nitelikleri taşıdığı düşünülen argon, kripton, ksenon gibi küresel simetriye sahip tek atomlu sıvılar üzerinde denenmiştir. Ancak bu sıvılar için ısıl iletkenlik katsayılarının hesaplanması geçmeden, önceki bölümün sonunda belirtilmiş olan bir nokta üzerinde durmak yararlı olacaktır.

(III-4) ve (III-6) denklemleri incelendiğinde sert küre çapı σ 'nın her iki denklemde de ikinci veya üçüncü kuvete yükseltilecek kullanılmakta olduğu görülecektir. Bu nedenle hesaplanacak ısıl iletkenlik katsayılarının sayısal değerleri üzerinde etkisinin büyük olacağı açıklıktır. Bu nokta gözönünde tutularak sert küre çapının mümkün olan en hassas şekilde saptanması için çalışılmıştır. Bienkowski ve Chao(2) tarafından argon, kripton ve ksenon için deneysel P-V-T verilerinin kuramsal olarak sert küre modelinin geçerli olduğu sonsuz basınca doğru uzatılması ile elde edilen denklemin, sert küre çapı için en uygun sayısal değerleri vereceği düşünülmüştür:

$$a^{1/3} = 0.549058 - 0.010827 T_r \quad (IV-1a)$$

$$a = \pi N \sigma^3 / 6 V_c \quad (IV-1b)$$

Argon, kripton ve ksenon'un sıvı fazdaki ısıl iletkenlik katsayılarının hesaplanması aşağıda anlatıldığı şekilde gerçekleştirılmıştır:

- (1) Verilen şartlarda (basınç ve sıcaklık) sert küre çapı σ , (IV-1a) ve (IV-1b) denklemleri ile hesaplanmış, yoğunluk ρ ise, argon için 41, kripton için 42, ksenon için 43 no.lu kaynaklardaki tablolardan alınmıştır.
- (2) Bu değerler (III-5a) - (III-5c) denklemlerinde yerine konularak sert küre sıkıştırılabilme faktörü Z hesaplanmıştır.
- (3) Verilen şartlarda (basınç, sıcaklık) gaz fazı için geçerli ısıl iletkenlik katsayısı λ_0 , (III-6) denkleminden bulunmuştur.
- (4) Bulunan λ_0 , Z ve ρ değerleri (III-4) denkleminde yerine konularak sıvının verilen şartlardaki ısıl iletkenlik katsayısı hesaplanmıştır.
- (5) Hesaplanan ısıl iletkenlik katsayıları argon için 19 ve 45 no.lu, kripton ve ksenon için de 19 no.lu kaynaklarda bulunan deneysel değerlerle karşılaştırılmıştır. Elde edilen sonuçlar 1, 2, 3 no.lu tablo ve şekillerde gösterilmiştir.

Toplam 75 veri noktası için hesaplanan ısıl iletkenlik

katsayılarının deneysel verilerden ortalama sapmasının % 2, en büyük hatanın da % 5'ten az olmasının yanısıra deneysel ölçümlede hatanın yaklaşık % 5 olabileceği gözönünde tutulursa, argon, kripton ve ksenon için geliştirilen yöntemin son derece başarılı olduğu anlaşılacaktır. Her üç sıvı için ısıl iletkenlik katsayıları doygunluk eğrisi boyunca da hesaplanmış ve yine 19 no.lu kaynaktan alınan deneysel değerlerle karşılaştırılmıştır. Oldukça yüksek indirgenmiş sıcaklıklara kadar ($T_r \approx 0,9$) hesaplanan değerlerdeki sapmaların yine deneysel hata sınırları içinde kaldığı gözlenmiştir.

Böylece son derece basit ve temel kavamlardan yararlanılarak geliştirilen bu yöntemle, küresel simetrisi olan tek atomlu sıvıların ısıl iletkenlik katsayılarının, kritik sıcaklığın hemen altındaki bölgeler ($T_r > 0,9$) dışında sıvı fazın büyük bir bölümünü kapsayan değişik basınç ve sıcaklıklar için deneysel hata sınırları içinde kalan bir duyarlılıkla hesaplanabildiği kanıtlanmış olmaktadır. Bu durumda yöntemin çok atomlu sıvılara da uygulanabilirliğini araştırmanın yerinde olacağı açıklıdır.

Bu amaçla akla gelen en basit çok atomlu organik sıvı olan metan ele alınmış ve ısıl iletkenlik katsayıları aynı yöntemle hesaplanarak 19 no.lu kaynaktan alınan deneysel değerlerle karşılaştırılmıştır. Sıkıştırılmış sıvı için ortalama hatanın % 3'ün üstüne, en büyük hatanın ise % 8'e yükseldiği, doygunluk eğrisi üzerinde de sapmaların daha fazla olduğu gözlenmiştir (Şekil 4 ve Tablo 4 ve 5). Sapmaların az da

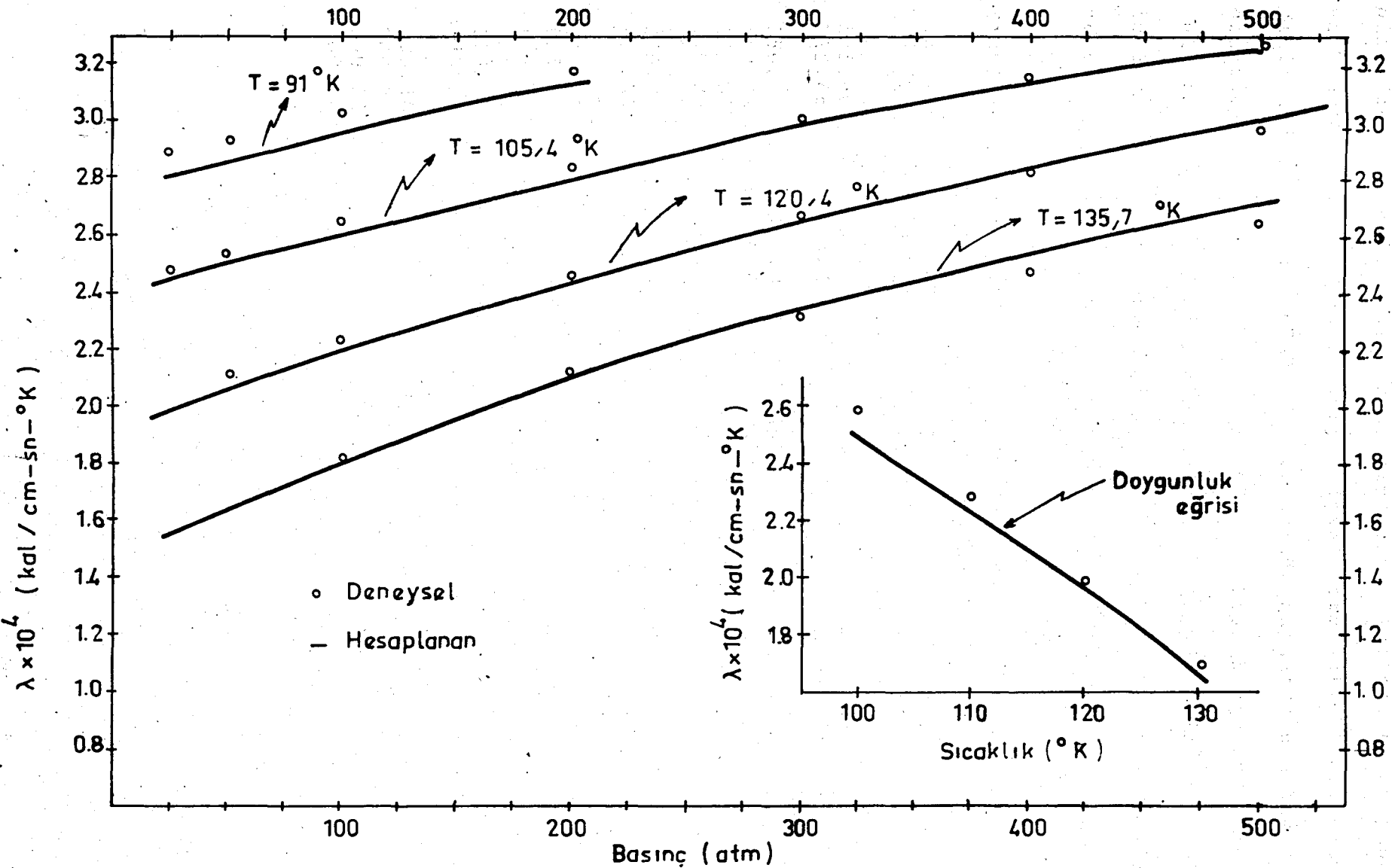
TABLO 1- ARGON İÇİN İSİL İLETKENLİK KATSAYILARI⁽⁺⁾

Sıcaklık (°K)	Basınç (atm.)	$\lambda \times 10^4$ (kal/sn-cm-°K)			% Hata
		Hesaplanan	Deneysel		
91.27	100.0	2.945	3.022	- 2.54	
91.30	51.0	2.850	2.930	- 2.74	
91.04	23.9	2.804	2.897	- 3.23	
105.35	498.1	3.306	3.282	+ 0.74	
105.38	398.8	3.139	3.150	- 0.34	
105.41	300.1	2.971	3.005	- 1.15	
105.46	200.4	2.782	2.836	- 1.89	
105.47	100.3	2.574	2.650	- 2.88	
105.49	50.2	2.497	2.544	- 1.83	
105.57	25.0	2.440	2.485	- 1.79	
120.48	500.8	3.009	2.974	+ 1.16	
120.37	400.1	2.837	2.821	+ 0.58	
120.30	300.4	2.649	2.660	- 0.40	
120.45	200.1	2.436	2.457	- 0.85	
120.46	100.1	2.190	2.233	- 1.92	
120.30	50.7	2.050	2.107	- 2.71	
135.87	500.5	2.723	2.645	+ 3.09	
136.04	399.8	2.537	2.475	+ 2.50	
134.78	300.1	2.356	2.324	+ 1.39	
134.76	200.1	2.113	2.107	+ 0.30	
135.78	100.0	1.801	1.816	- 0.84	
86.6	2.97	2.884	2.980	- 3.22	
87.7	2.97	2.853	2.910	- 1.94	
94.3	2.97	2.675	2.750	- 2.72	
89.0	23.60	2.857	2.890	- 1.12	
91.3	47.90	2.844	2.870	- 0.91	
137.5	64.20	1.587	1.663	- 4.59	
90.3	96.30	2.962	2.900	+ 2.15	
109.7	95.90	2.455	2.450	+ 0.22	
124.4	95.90	2.076	2.090	- 0.70	

Ortalama Hata = % 1.76

En Büyük Hata = % 4.59

(+) Kesik çizginin üzerinde kalan deneysel değerler 19 no.lu kaynaktan, altında kalanlar ise 45 no.lu kaynaktan alınmıştır.



Şekil (1) — Argon için ısıl iletkenlik katsayıları

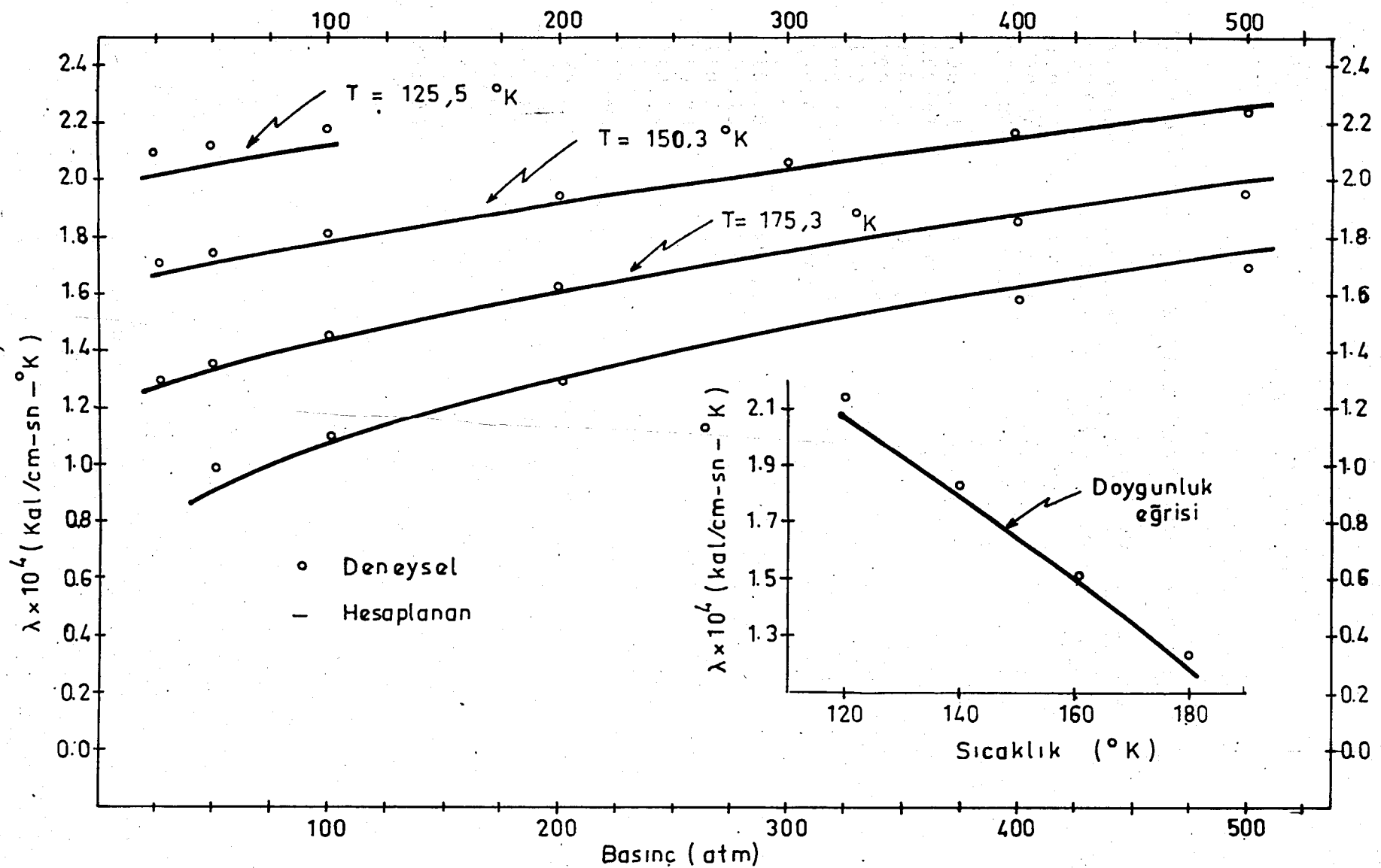
olsa deneysel hata sınırları dışına çıkmasına argon, kripton ve ksenon için söz konusu olmayan içsel serbestlik derecelerinin neden olduğu düşünülebilir. Bu tür saptmaların molekülü oluşturan atomların sayısı arttıkça ve küresel simetri bozuldukça artması beklenigidinden, geliştirilen yöntemin çok atomlu sıvılara uygulanabilmesi için bazı değişiklikler yapılması gereği görülmektedir.

TABLO 2- KRIPTON İÇİN İLETKENLİK KATSAYILARI

Sıcaklık (°K)	Basınç (atm.)	$\lambda \times 10^4$ (kal/sn-cm-°K)		
		Hesaplanan	Deneysel	% Hata
125.45	99.7	2.104	2.180	- 3.47
125.46	50.2	2.043	2.126	- 3.88
125.46	25.2	2.012	2.101	- 4.23
150.32	500.8	2.255	2.238	+ 0.74
150.32	400.8	2.151	2.150	+ 0.07
150.35	300.8	2.033	2.049	- 0.80
150.35	201.4	1.912	1.939	- 1.40
150.35	100.2	1.775	1.810	- 1.93
150.35	50.0	1.699	1.738	- 2.21
150.35	25.5	1.659	1.702	- 2.51
175.25	500.1	1.992	1.960	+ 1.61
175.26	401.5	1.881	1.856	+ 1.36
175.32	200.7	1.608	1.607	+ 0.09
175.34	99.5	1.437	1.443	- 0.43
175.34	51.0	1.311	1.352	- 1.58
175.34	25.5	1.266	1.297	- 2.41
200.28	500.1	1.752	1.697	+ 3.26
200.29	400.8	1.635	1.584	+ 3.21
200.28	200.7	1.323	1.300	+ 1.78
200.28	100.2	1.093	1.103	- 0.93

Ortalama Hata = % 1.95

En Büyük Hata = % 4.23



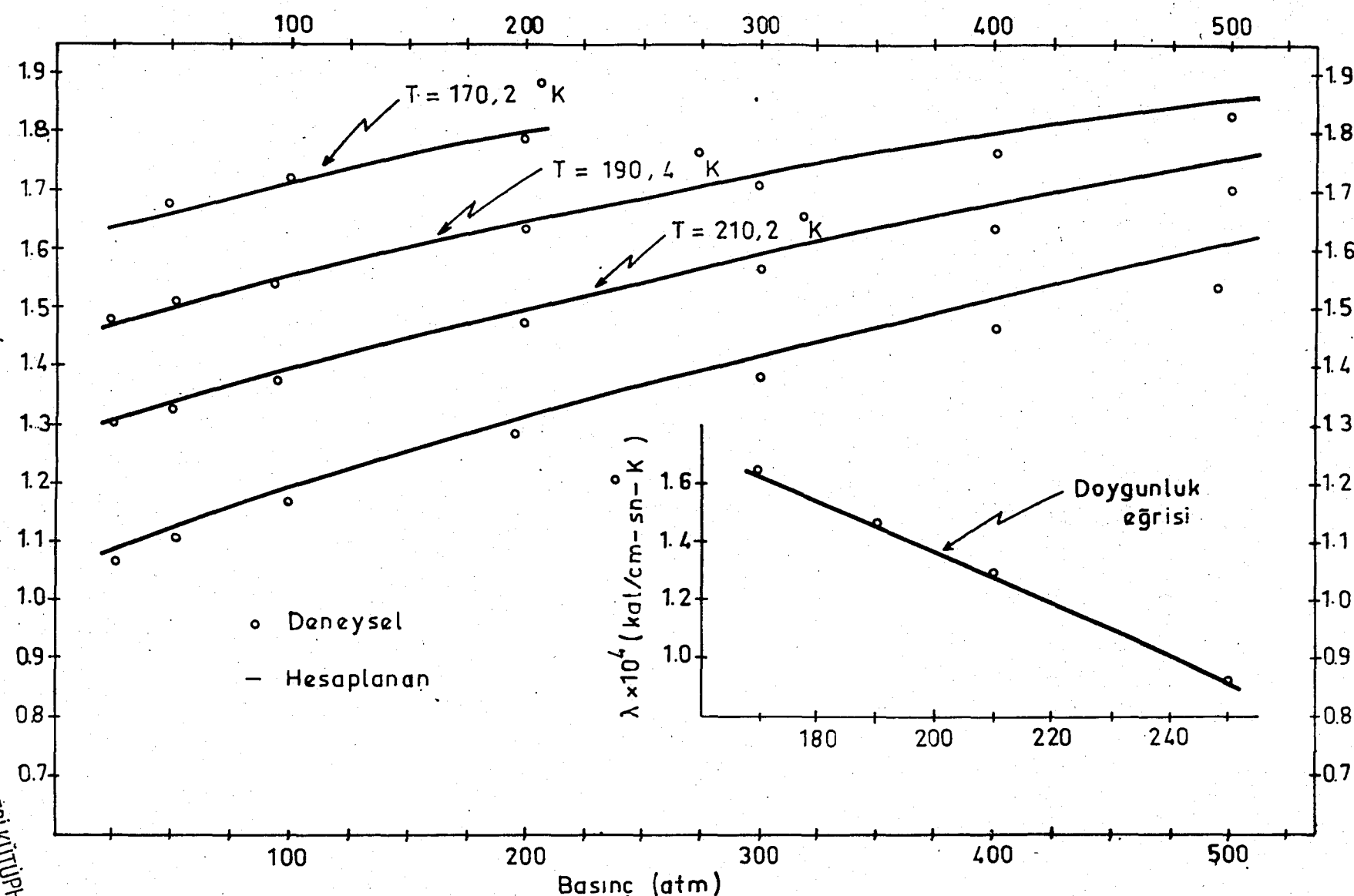
Şekil (2) – Krypton için ıslı iletkenlik katsayıları

TABLO 3- KSENON İÇİN İSİL İLETKENLİK KATSAYILARI

Sıcaklık (°K)	Basınç (atm.)	$\lambda \times 10^4$ (kal/sn-cm-°K)	Deneysel	% Hata
Hesaplanan				
170.24	201.1	1.794	1.789	+ 0.26
170.24	97.4	1.708	1.719	- 0.65
170.24	50.4	1.663	1.682	- 1.13
190.41	495.4	1.851	1.833	+ 0.96
190.41	400.8	1.816	1.773	+ 2.41
190.42	301.8	1.728	1.709	+ 1.12
190.41	201.4	1.645	1.633	+ 0.73
190.42	94.2	1.550	1.545	+ 0.35
190.43	52.9	1.503	1.508	- 0.32
190.44	24.5	1.473	1.481	- 0.54
210.16	499.5	1.761	1.700	+ 3.60
210.16	400.1	1.682	1.636	+ 2.82
210.22	300.1	1.587	1.563	+ 1.56
210.23	200.1	1.499	1.476	+ 1.56
210.21	95.4	1.389	1.374	+ 1.08
210.20	51.2	1.338	1.327	+ 0.82
210.20	25.7	1.307	1.301	+ 0.44
235.04	494.7	1.603	1.536	+ 4.35
235.03	400.5	1.519	1.463	+ 3.86
235.03	300.4	1.415	1.379	+ 2.60
235.02	195.3	1.312	1.287	+ 1.96
235.06	100.2	1.196	1.171	+ 2.12
235.05	51.4	1.126	1.107	+ 1.67
235.08	25.7	1.084	1.068	+ 1.49

Ortalama Hata = % 1.55

En Büyük Hata = % 4.35



Sekil (3)- Ksenon için ıslı iletkenlik katsayıları

TABLO 4- METAN İÇİN İSİL İLETKENLİK KATSAYILARI

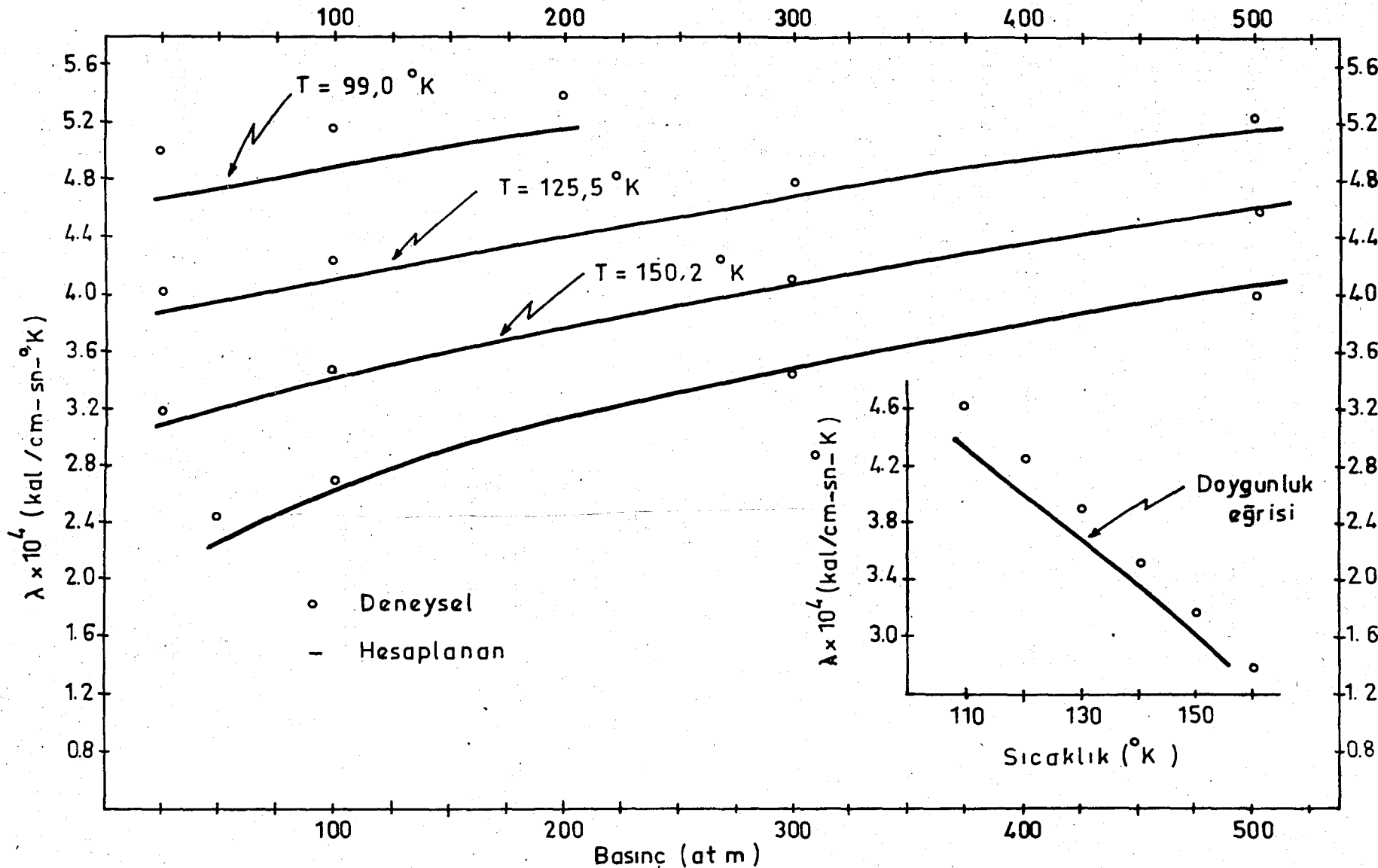
Sıcaklık (°K)	Basınç (atm.)	$\lambda \times 10^4$ (kal/sn-cm-°K)	Deneysel	% Hata
98.99	200.4	5.150	5.389	- 4.43
99.02	100.0	4.890	5.175	- 5.50
99.01	25.3	4.650	4.999	- 6.98
125.47	500.1	5.166	5.234	- 1.29
125.55	300.1	4.673	4.788	- 2.41
125.55	100.2	4.117	4.260	- 3.34
125.62	24.0	3.883	4.016	- 3.30
150.23	500.8	4.605	4.598	+ 0.16
150.25	300.4	4.060	4.103	- 1.04
150.25	100.0	3.406	3.480	- 2.13
150.25	25.9	3.089	3.176	- 2.73
175.13	500.1	4.082	3.980	+ 2.55
175.13	300.1	3.485	3.452	+ 0.97
175.13	100.0	2.628	2.726	- 3.61
175.13	50.6	2.257	2.456	- 8.08

Ortalama Hata = % 3.23

En Büyük Hata = % 8.08

TABLO 5- DOYGUNLUK EĞRİSİ BOYUNCA İSİL İLETKENLİK KATSAYILARI

	Sıcaklık (°K)	$\lambda \times 10^4$ (kal/sn-cm-°K)		% Hata
		Hesaplanan	Deneysel	
Argon	100	2.492	2.596	- 4.06
	110	2.224	2.288	- 2.80
	120	1.941	1.989	- 2.41
	130	1.648	1.702	- 3.19
Kripton	120	2.060	2.144	- 3.92
	140	1.775	1.831	- 3.04
	160	1.489	1.525	- 2.38
	180	1.187	1.234	- 3.78
Ksenon	170	1.622	1.652	- 1.80
	190	1.454	1.465	- 0.80
	210	1.281	1.282	- 0.11
	250	0.933	0.932	+ 0.03
Metan	100	4.599	4.972	- 7.50
	120	3.996	4.255	- 6.07
	140	3.359	3.538	- 5.05
	160	2.668	2.821	- 5.41



Şekil (4) Metan için ısıl iletkenlik katsayıları

V. ALİFATİK HİDROKARBONLAR

Tek atomlu sıvılar için başarılı olduğu kanıtlanan yöntemin çok atomlu sıvılara da uygulanabilmesi için gerekli olan değişiklikler yapılırken aşağıdaki noktalar gözönünde tutulmalıdır:

(i) Moleküller arası potansiyel fonksiyonu için küresel simetri koşulu ortadan kaldırılmalı, böylece ağır parafinler gibi uzun moleküllerin yanısıra kutupsal olanların da incelenmesi olağın sağlanmalıdır.

(ii) İçsel serbestlik derecelerinin ısıl iletkenlik katsayılarını etkilediği bilindigine göre bu durumun sayısal değerlere yansıtılmasına çalışılmalıdır.

(iii) Uygulama açısından zorunlu girdi niteliğinde olan sert küre çapının her sıvı için bilinemeyeceği ve ölçülemeyeceği dikkate alınarak bu engel ortadan kaldırılmalıdır.

Yukarıda belirtilen hususları gerçeklestirebilmek için her sıvinin ısıl iletkenlik katsayısının iki kısımda incelemeceği düşünülmüştür:

(i) Verilen şartlarda tek atomlu bir sıvı için geçerli olan ısıl iletkenlik katsayısı, λ_m , ve

(ii) Verilen şartlarda çok atomlu sıvı ile tek atomlu sıvinin ısıl iletkenlik katsayıları arasındaki fark, λ_d .

Bu düşünce matematisel olarak ifade edilecek olursa:

$$\lambda = \lambda_m + \lambda_d \quad (V-1)$$

(V-1) denklemindeki λ_m değerini, sert küre çapı bilindiği takdirde, önceki bölümlerde gösterildiği şekilde kolayca hesaplamak mümkün olacaktır. Ancak her sıvı için sert küre çapının bilinmeyeceği gözönüne alınmış ve karşılaştırmalı haller kanunu uygulanarak bu engelin kolayca aşılacağı düşünülmüştür. Bu noktayı açılığa kavuşturmak için önce adı geçen kanunu tanıtmak yararlı olacaktır.

Karşılaştırmalı haller kanunu ilk kez Van der Waals tarafından gazlar için ortaya atılmış, daha sonra Pitzer tarafından sıvılara uygulanmıştır(27). Bu kanuna göre küresel simetriye ve aynı moleküller arası potansiyel fonksiyonuna sahip olan tüm sıvılar aynı şartlarda aynı özelliklerini taşırlar. Burada aynı şartlar olarak sıcaklık ve yoğunluğun kritik noktadaki değerlere bölünmesi ile elde edilen indirgenmiş sıcaklık ve indirgenmiş yoğunluğun eşit olması kastedilmektedir.

Sıvıların ısıl iletkenliğine uygulandığı zaman karşılaştırmalı haller kanunu aşağıdaki gibi ifade edilebilir: Aynı indirgenmiş sıcaklık ve yoğunlukta her sıvinin indirgenmiş ısıl iletkenliği, başka bir deyişle, o sıcaklık ve yoğunlukta ısıl iletkenlik katsayısının kritik noktadaki ısıl iletkenlik katsayısına oranı, eşit olacaktır. Ancak kritik noktadaki ısıl iletkenlik katsayıları birçok sıvı için bilinmemek-

tedir. Bu durum gözönünde tutulup indirgenmiş ısıl iletkenlik katsayısı, (III-6) denkleminden yararlanılarak daha uygun bir şekilde tanımlanmıştır(17):

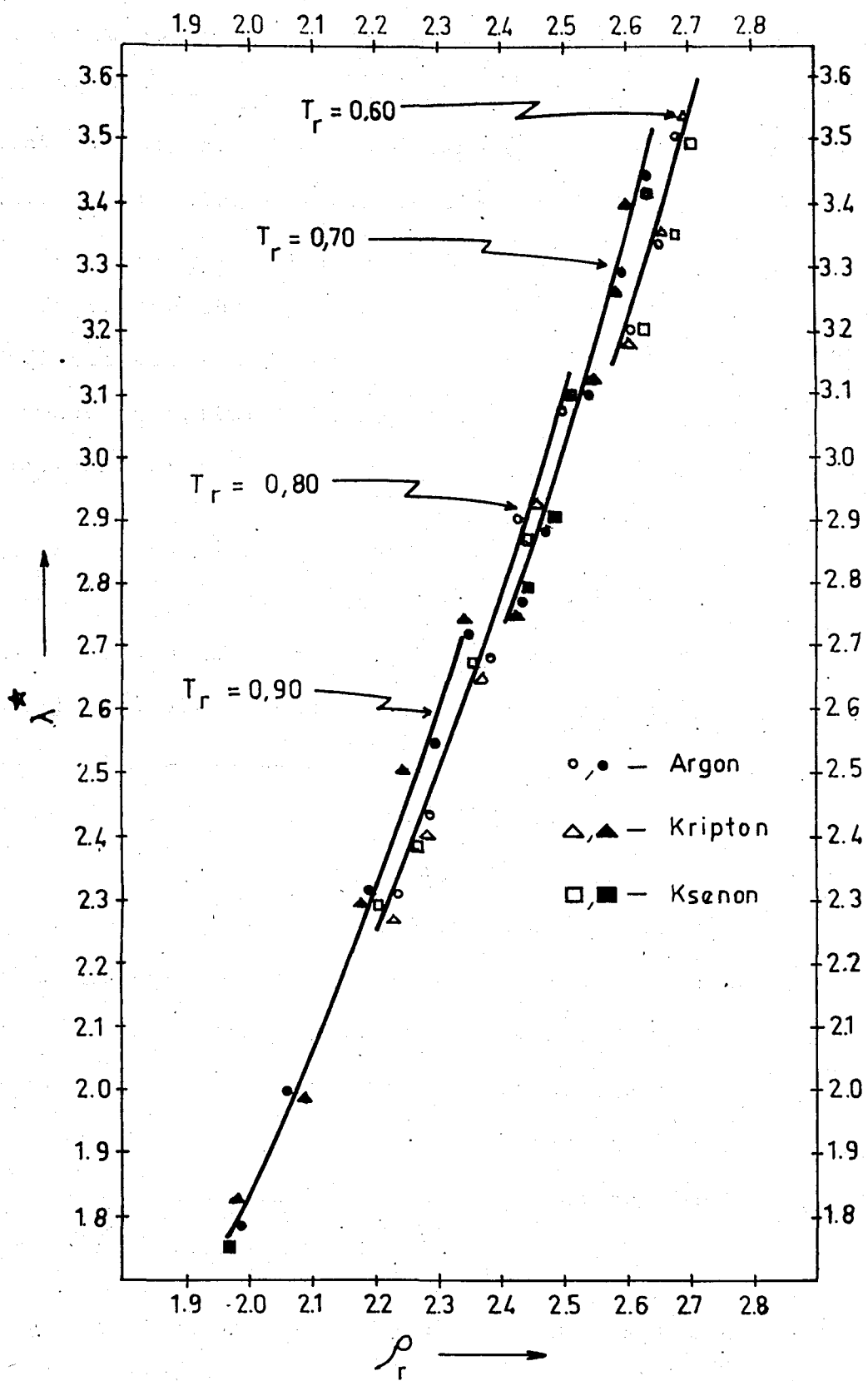
$$\lambda^* = \lambda_c T_c^{1/6} M^{1/2} P_c^{-2/3} \quad (V-2)$$

Karşılaştırmalı haller kanunu argon, kripton ve ksenon için denenmiş, bu amaçla (V-2) denklemine göre tanımlanan ısıl iletkenlik katsayıları indirgenmiş sıcaklık ve indirgenmiş yoğunluğun bir fonksiyonu olarak hesaplanmış ve sonuçlar Şekil (5) de gösterilmiştir. Görüldüğü gibi her üç sıvı için de aynı indirgenmiş sıcaklık ve yoğunlukta indirgenmiş ısıl iletkenlik katsayıları aynıdır. Böylece karşılaştırmalı haller kanununun tek atomlu sıvılar için geçerli olduğu kanıtlanmış olmaktadır. (V-1) denklemi de indirgenmiş değerler ile ifade edilebilir:

$$\lambda^* = \lambda_m^* + \lambda_d^* \quad (V-3)$$

λ_m^* terimi söz konusu sıvı ne olursa olsun aynı indirgenmiş sıcaklık ve yoğunlukta sert küre çapı bilinen tek atomlu bir sıvının ısıl iletkenlik katsayısına eşit olacaktır. Böylece her sıvı için sert küre çapının bilinmesine gerek kalmayacağı açıklıdır.

(V-3) denklemindeki ikinci terim olan λ_d^* ise sıcaklık ve yoğunluğun yanısıra sıvının moleküller arası potansiyel fonksiyonu, taşıdığı atomların sayısı ve cinsi, varsa elektrik yükünün dağılımı, serbestlik derecelerinin sayısı gibi çeşitli



Şekil (5) — Ar, Kr, Xe için λ^* 'nın ρ_r ve T_r ile değişmesi

li etkenlere bağlıdır. Bu etkenlerin tümünün her sıvı için söz konusu olamayacağına dikkat edilirse, λ_d^* için genel bir denklem bulmanın zorluğu ortaya çıkacaktır. Bu nedenle sıvıların mevcut olan sınıflandırılmalarına bağlı kalınarak, her sınıf için λ_d^* terimini ayrı olarak incelemenin yerinde olacağı düşünülmüştür. Özellikle organik sıvılar için bu tür sınıflandırmaların öteden beri yapıldığı bilinmektedir. Bu çalışmada λ_d^* alifatik hidrokarbonlar için aşağıdaki yöntemle incelenmiştir:

Alifatik hidrokarbonları da parafinler, olefinler, di-olefinler gibi alt sınıflara ayırma olanağı vardır. Bu alt sınıfların tümü de taşıdıkları karbon sayısına göre birer homolog dizi oluşturmaktadırlar. Başka bir deyişle, bunların ıslıl iletkenlik, ısinma ısisı, kaynama noktası gibi çeşitli fiziksel özelliklerinin molekül ağırlığına, dolayısı ile karbon sayısına bağlı olarak değiştiği bilinmektedir. Bu nedenle λ_d^* 'yi de karbon sayısına göre ifade etme olanağını araştırmakta yarar görülmüştür. Çalışmanın bu aşamasında empirik bir yola başvurulmasına karar verilmiştir. Bu durumda kullanılacak deneysel verilerin sayısal sonuçlar üzerindeki etkisi büyük olacağından mevcut tüm yoğunluk ve ıslıl iletkenlik katsayısı verilerini titizlikle inceleyerek en uyumlu ve doğru olanlarını kullanmak yerinde olacaktır.

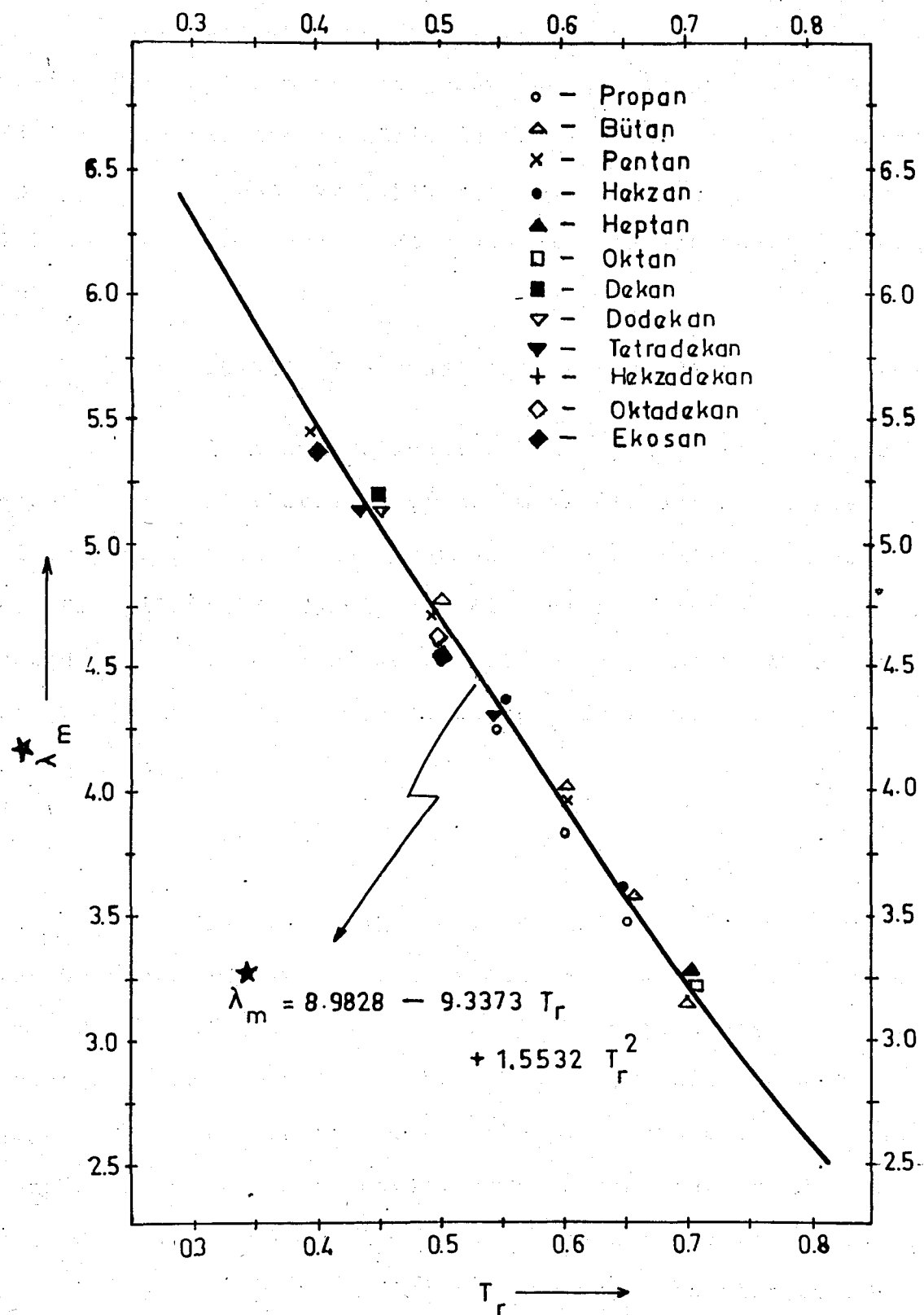
Isıl iletkenlik katsayılarının araştırıcıdan araştırıcıya sapmalar gösterdiği ve deneysel hata payının % 10'a kadar yükselebildiği daha önce de belirtildi. Bu çalışmada

ESDU(*) tarafından çok geniş ve titiz bir yayın taraması sonucunda derlenen verilerin kullanılmasına karar verilmiş ve sıvı alifatik hidrokarbonların atmosferik basınçtaki ıslıkletkenlik katsayılarını içeren 75003 ve 75009 no.lu ESDU yayınlarından yararlanılmıştır. Propandan oktadekana kadar normal parafinlerin atmosferik basınçtaki yoğunluk verileri için de 3 no.lu kaynağın en uygun olacağı düşünülmüştür.

Gerekli veriler derlendikten sonra (V-3) denklemindeki λ_m^* değerleri önceki bölümde anlatıldığı şekilde hesaplanıp deneyssel λ^* değerlerinden çıkarılarak λ_d^* değerleri bulunabilecektir. Daha sonra elde edilen bu değerler ile karbon sayısı arasında bir bağlantı kurulması olağrı incelenecektir. Ancak indirgenmiş değerlerin hesaplanabilmesi her sıvı için kritik noktadaki sıcaklık, basınç ve yoğunluğun bilişmesini gerektirmektedir. Bunlardan ilk ikisi için oldukça güvenilir veriler bulunmasına karşın yoğunluk verileri güvenilir nitelikte olmaktan uzaktır. Bu nedenle kritik hacimlerin Lydersen tarafından önerilen yöntemle(33) hesaplanması uygun görülmüşdür. Kritik noktadaki sıcaklık, basınç ve hacim için bu çalışmada kullanılan sayısal değerler Ek-1'de verilmiştir.

Lydersen yöntemi ile hesaplanan kritik hacimler kullanılarak bulunan λ_m^* değerlerinin indirgenmiş sıcaklıkla değişimisinin propandan oktadekana kadar tüm normal parafinler için aynı denklemle ifade edilebileceği Şekil 6'dan anlaşılmaktadır.

(*) Engineering Sciences Data Unit



Şekil (6) - n-Parafinler için λ_m nin T_r ile değişmesi

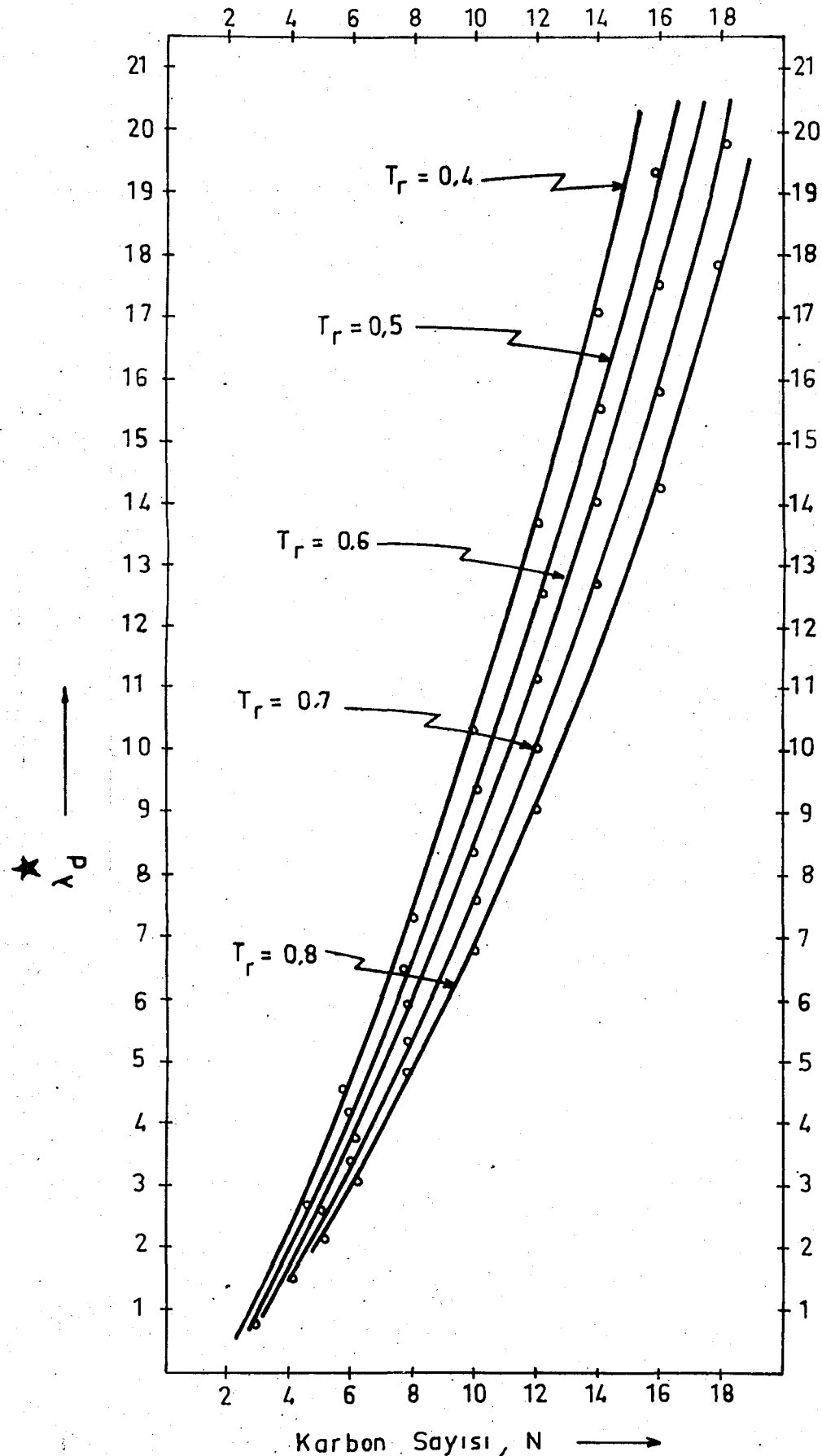
Her alifatik hidrokarbon için istenen duyarlılıkta yoğunluk verilerinin bulunamayacağı gözönünde tutularak normal parafinler için yapılan bu gözlemin tüm alifatik hidrokarbonlar için geçerli olduğu varsayılmış ve λ_m^* ile indirgenmiş sıcaklık arasında en küçük kareler yöntemi ile aşağıdaki ilişki kurulmuştur:

$$\lambda_m^* = 1.55325 T_r^2 - 9.33731 T_r + 8.98284 \quad (V-4)$$

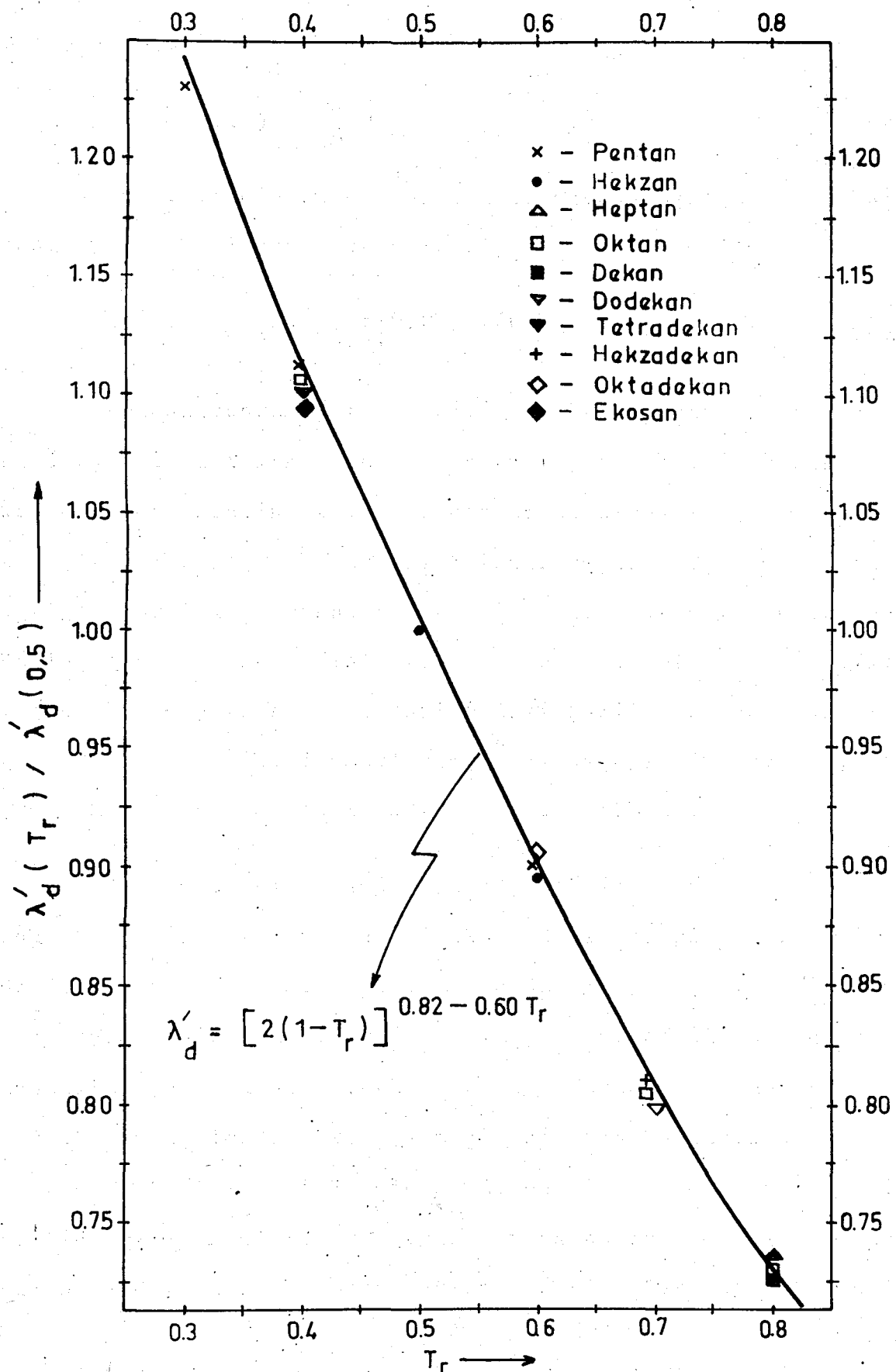
(V-4) denklemi kullanılarak hesaplanan λ_m^* değerlerinin deneysel λ^* değerlerinden çıkarılması ile bulunan λ_d^* değerleri propandan oktadekana kadar normal parafinler için Şekil 7'de gösterilmiştir. Tahmin edildiği gibi λ_d^* karbon sayısı ile düzgün bir şekilde değişmektedir. Bunun yanısıra λ_d^* 'nin indirgenmiş sıcaklığa da bağlı olduğu görülmektedir. Matematiksel olarak:

$$\lambda_d^* = \lambda_d^*(N, T_r) \quad (V-5)$$

λ_d^* teriminin sıcaklık ile değişimini karbon sayısından bağımsız olarak inceleyebilmek için şu yola başvurulmuştur: Her normal parafin için, değişik indirgenmiş sıcaklıklarda hesaplanan λ_d^* değerlerinin $T_r = 0.5$ için bulunmuş olan değerlere bölünmesi ile elde edilen boyutsuz sayıların indirgenmiş sıcaklığın bir fonksiyonu olup olmadığı araştırılmıştır. Şekil 8'de görüldüğü gibi pentandan oktadekana kadar tüm normal parafinler için hesaplanan boyutsuz sayılar aynı eğri üzerine düşmüştür. Bu durumda λ_d^* aşağıdaki gibi ifade edile-



Şekil (7) – n-Parafinler için $\frac{\lambda_d}{\lambda_r}$ ’nın N ve T_r ile değişmesi



Şekil (8) - λ'_d 'nin T_r ile değişmesi

bilecektir:

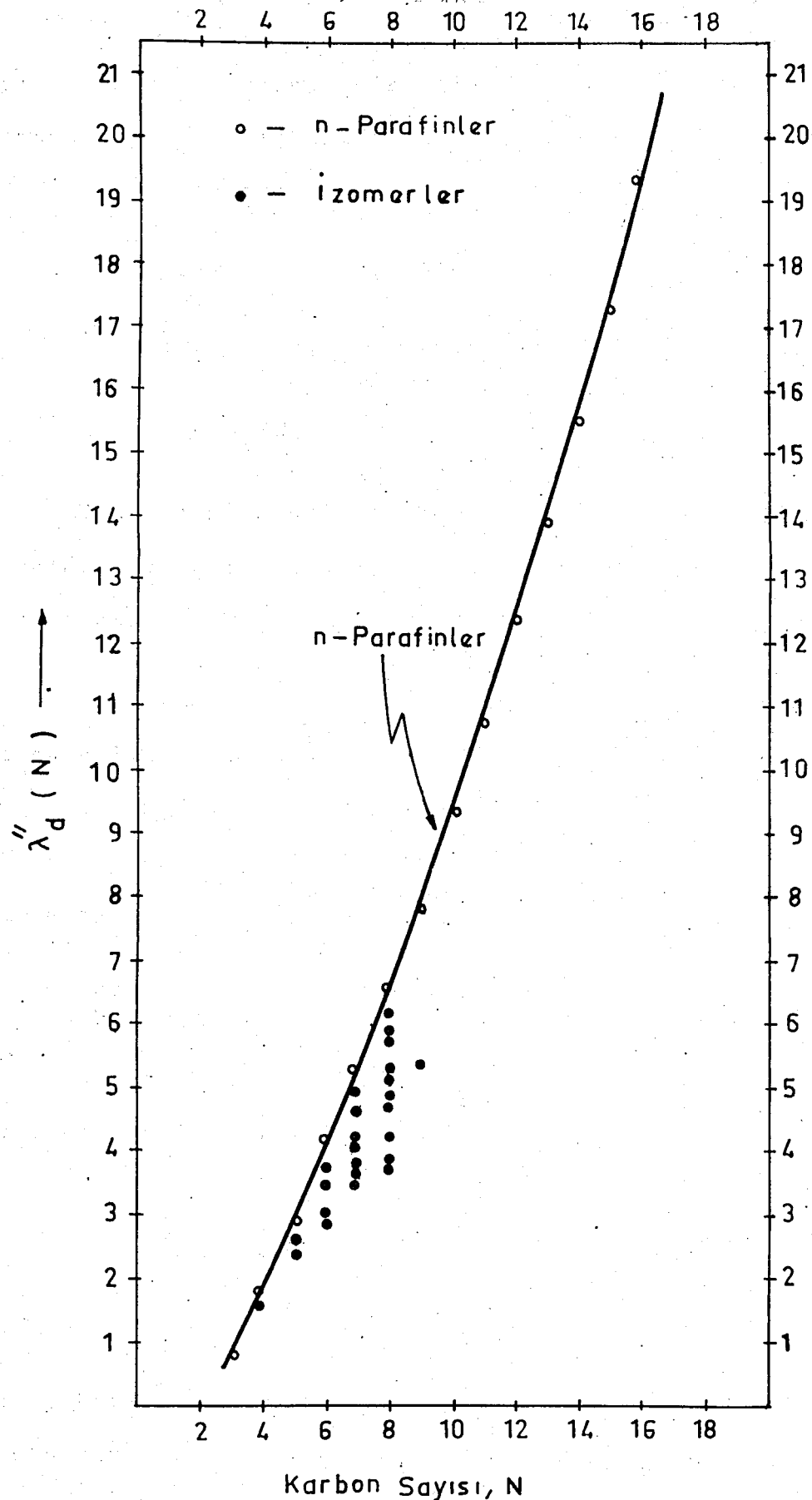
$$\lambda_d^* = \lambda_d'(T_r) \cdot \lambda_d''(N) \quad (V-6)$$

$\lambda_d'(T_r)$ için birkaç deneme sonucunda aşağıdaki fonksiyonun yeterli olduğu saptanmıştır:

$$\lambda_d'(T_r) = |2(1-T_r)|^{0.82-0.60 T_r} \quad (V-7)$$

Bundan sonra $\lambda_d''(N)$ terimi ile karbon sayısı arasındaki ilişkiyi saptamak amacı ile normal parafinlerin dışında kalan diğer parafinler için indirgenmiş sıcaklık sabit tutularak ($T_r = 0.5$) λ_d^* değerleri hesaplanmıştır. $T_r = 0.5$ için $\lambda_d'(T_r)$ teriminin sayısal değeri bire eşit olacağınından bu değerler aynı zamanda $\lambda_d''(N)$ terimin değerleri olacaktır. $\lambda_d''(N)$ ile karbon sayısı N arasındaki ilişki Şekil 9'da gösterilmiştir. Görüldüğü gibi izomerlerin $\lambda_d''(N)$ değerleri karbon sayısı aynı olan normal parafinlere göre daha düşüktür.

Karbon zincirindeki yapı değişikliklerinin kaynama noktası, ısınma ısısı gibi fiziksel özellikleri etkilediği öteden beri bilinmektedir. Bu durumda $\lambda_d''(N)$ değerleri ile karbon sayısı arasında geçerli bir ilişki kurulabilmesi için izomerlere ait değerlere bir düzeltme faktörü bulunması gerektiği anlaşılmaktadır. Bu amaçla hidrokarbonların kritik noktadaki özelliklerini üzerinde karbon zincirindeki yapı değişiklerinin etkisini yansitan bir parametre olan Wiener sayısından (34) yararlanılması düşünülmüştür. Gerçekten de bu



Şekil (9) — Parafinler için λ_d'' nin N ile değişmesi

sayı ile $\lambda_d''(N)$ arasında bir ilişki olduğu Şekil 10'dan anlaşılmaktadır. Bu ilişkinin denklemi de en küçük kareler yöntemi ile saptanmıştır:

$$\phi' = 4.1146 \eta^2 + 0.5606\eta \quad (V-8a)$$

$$\phi' = 1 - |\lambda_d''(N)|_I / |\lambda_d''(N)|_N \quad (V-8b)$$

$$\eta = 1 - W_I / W_N \quad (V-8c)$$

Yukarıdaki denklemlerde W Wiener sayısını, N ve I alt-simgeleri ise normal parafin ile izomerine ait değerleri göstermektedir.

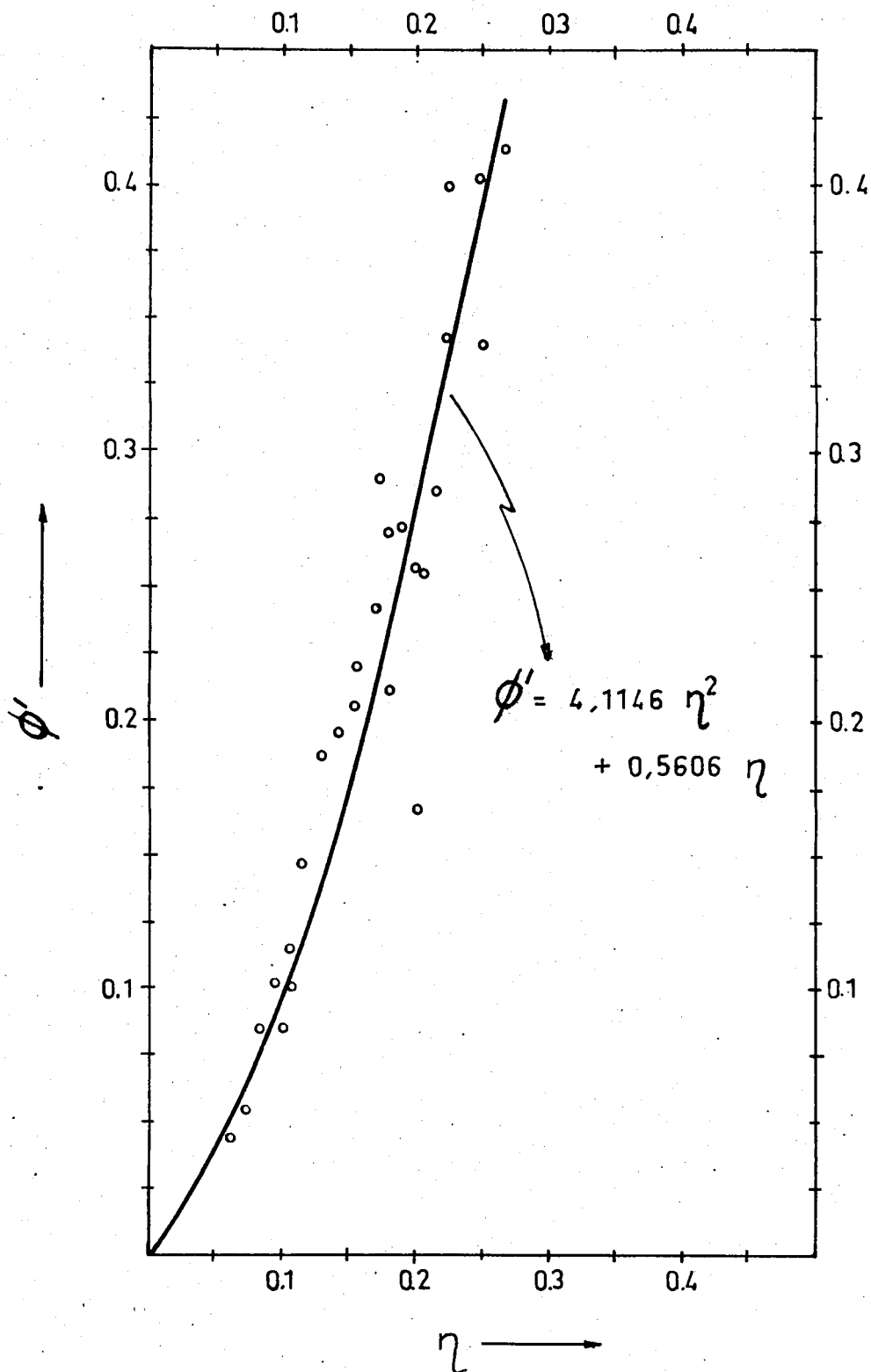
Izomerlere ait değerler gerekli düzeltme faktörleri ile çarpıldıktan sonra tüm parafinler için $\lambda_d''(N)$ 'nin karbon sayısı ile düzgün bir şekilde değiştiği gözlenmiştir (Şekil 11). Bu ilişkinin en küçük kareler yöntemi ile saptanın denklemi aşağıda gösterilmiştir:

$$\lambda_d''(N) = 0.00206 N^3 - 0.01536 N^2 + 1.0848N - 2.34561 \quad (V-9)$$

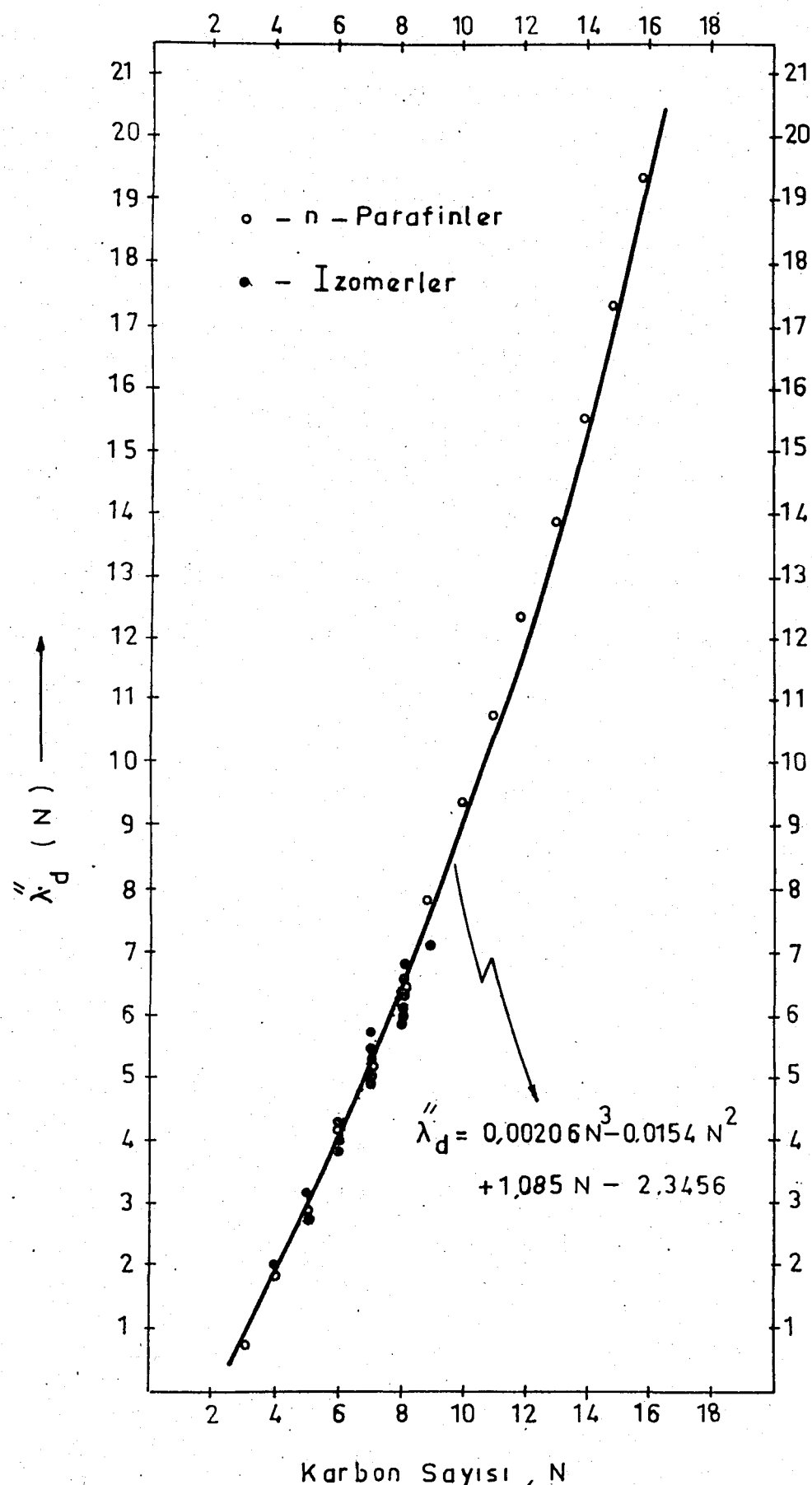
Sonuç olarak, parafinler için λ_d^* 'nin aşağıdaki gibi ifade edilebileceği anlaşılmaktadır:

$$\lambda_d^* = (0.00206N^3 - 0.01536N^2 + 1.0848N - 2.34561) \\ \times (1-\phi') \times |2(1-T_r)|^{0.82-0.60} T_r \quad (V-10)$$

Olefinler ve diolefiner için λ_d ile indirgenmiş sıcaklık ve karbon sayısı arasındaki ilişkinin parafinler ile aynı olduğu varsayılarrsa, (V-10) denklemi bunlara da uygulanabile-



Şekil (10) — λ_d ile Wiener sayısı arasındaki ilişki



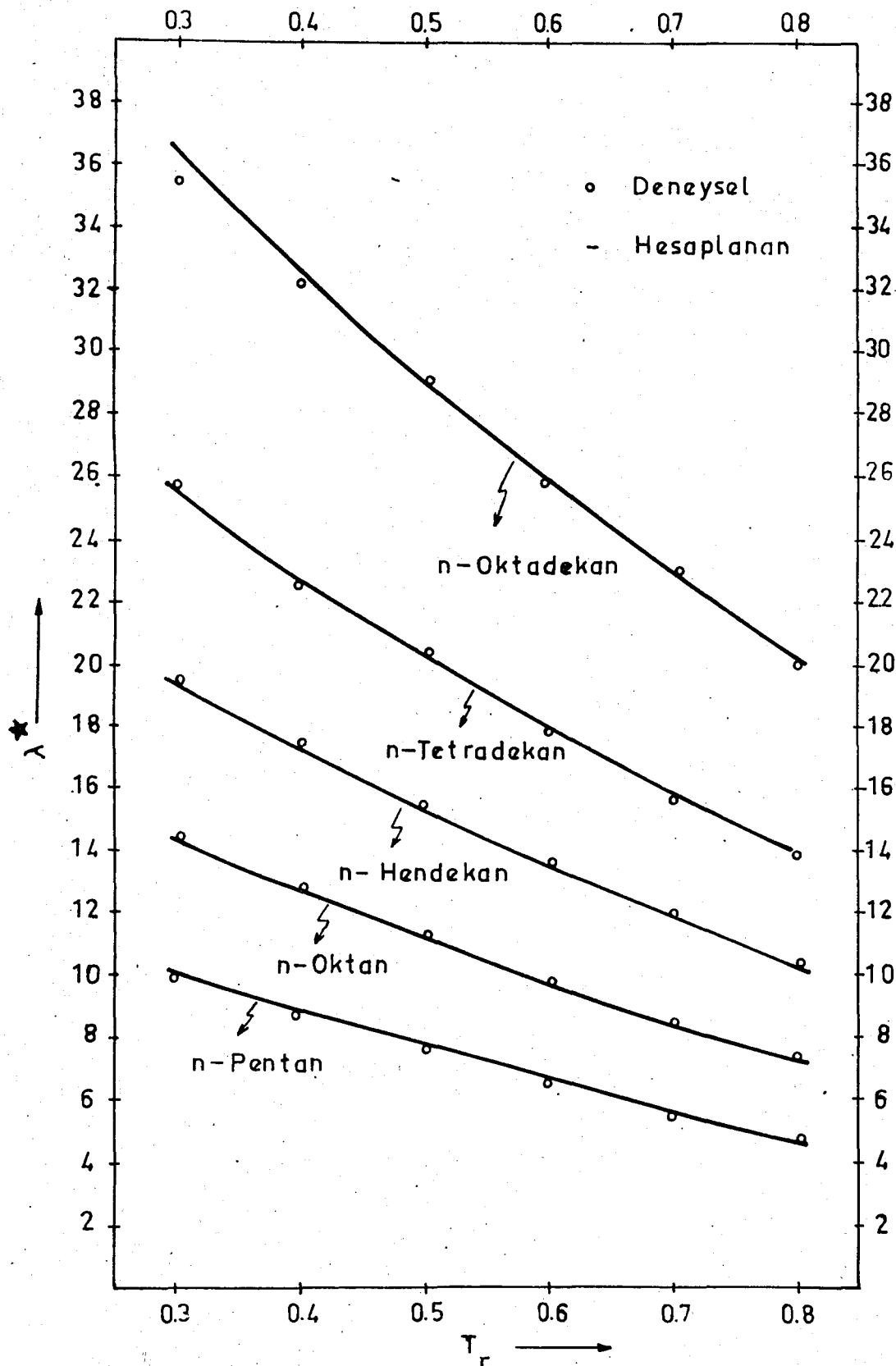
Şekil (11).— Parafinler için λ''_d 'nin N ile değişmesi

cektir. Çift karbon-karbon bağının fiziksel özellikler üzerindeki etkisi giderek azalacağından, bu varsayımlı özellikle moleküldeki karbon sayısı arttıkça geçerli olacaktır. Ancak doğru sayısal değerlerin bulunabilmesi için λ_d^* (V-10) denklemi ile hesaplanırken söz konusu olefin veya diolefin ait kritik sabitlerin kullanılması gerekmektedir. Örneğin penten-1 için λ_d^* , aşağıdaki gibi hesaplanmalıdır:

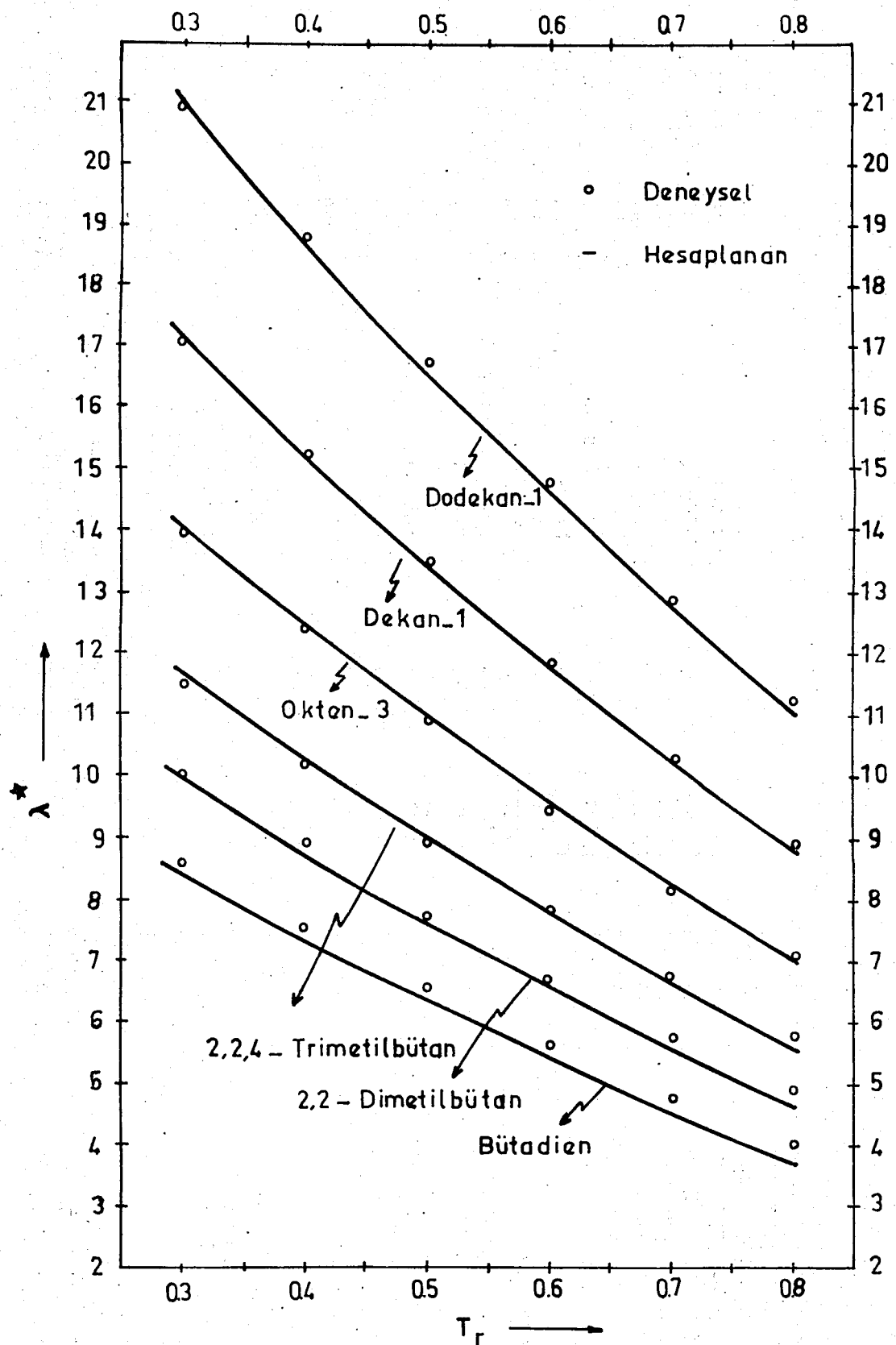
$$(\lambda_d^*)_{\text{Penten}} = (\lambda_d^*)_{\text{Pentan}} \times \left| \frac{M_c^{1/2} T_c^{1/6}}{P_c^{2/3}} \right|_{\text{Penten}} \times \left| \frac{P_c^{2/3}}{M_c^{1/2} T_c^{1/6}} \right|_{\text{Pentan}} \quad (\text{V-11})$$

(V-3), (V-4) ve (V-10) denklemleri kullanılarak 46 parafin, 21 olefin ve 2 diolefin için ısıl iletkenlik katsayıları normal donma ve kaynama noktaları arasındaki sıcaklıklar için hesaplanmış ve deneySEL verilerle karşılaştırılmıştır. Toplam 359 veri noktası için ortalama hatanın % 1.3, en büyük hatanın ise % 5.7 olduğu saptanmıştır. Sonuçlar 6-9 no.lu tablolarda gösterilmiş, ayrıca seçilen bazı sıvılar için deneySEL veriler ile hesaplanan değerler 12 ve 13 no.lu şekillerde karşılaştırılmıştır.

Tabloların ve şekillerin incelenmesinden anlaşılabileceği gibi atmosferik basınçta alifatik hidrokarbonların ısıl iletkenlik katsayıları yalnız donma ($T_r \approx 0.4$) ve kaynama ($T_r \approx 0.70$) noktaları arasında değil, 0.3 ile 0.8 arasındaki tüm indirgenmiş sıcaklıklar için deneySEL hata sınırları içinde kalan bir duyarlılıkla hesaplanabilmiştir. Bu da ısıl iletkenlik katsayıları ile karbon sayısı ve indirgenmiş sıcaklık arasında çok başarılı bir bağıntı geliştirilmiş olduğunu kanıtlamaktadır.



Şekil (12) Hesaplanan λ^* 'ların deneysel verilerle karşılaştırılması



Şekil (13) – Hesaplanan λ^* 'larin deneysel verilerle karşılaştırılması

TABLO 6- ALİFATİK HİDROKARBONLARIN İNDİRGENMİŞ İSİL İLETKENLİK KATSAYILARI ($T_r = 0.4$)

	Hesaplanan	Deneysel	% Hata		Hesaplanan	Deneysel	% Hata
Propan	6.415	6.344	+1.12	n-Hendekan	17.138	17.412	-1.57
n-Bütan	7.586	7.475	+1.48	n-Dodekan	18.861	19.177	-1.65
2-Metilpropan	7.383	7.298	+1.16	n-Tridekan	20.715	20.810	-0.46
n-Pentan	8.778	8.725	+0.60	n-Tetradekan	22.714	22.560	+0.68
2-Metilbütan	8.459	8.384	+0.89	n-Pentadekan	24.870	24.523	+1.42
Neopentan	7.870	8.168	-3.65	n-Hekzadekan	27.199	26.747	+1.69
n-Hekzan	10.004	10.127	-1.21	n-Heptadekan	29.715	29.202	+1.75
2-Metilpentan	9.652	9.719	-0.69	n-Oktadekan	32.429	32.131	+0.93
3-Metilpentan	9.473	9.422	+0.54	n-Nonadekan	35.357	35.149	+0.59
2,3-Dimetilbütan	9.026	8.753	+3.12	n-Ekosan	38.494	36.422	+5.68
2,2-Dimetilbütan	8.757	8.899	-1.60	Propen	6.346	6.471	-1.93
n-Heptan	11.279	11.367	-0.77	Büten-1	7.468	7.481	-0.17
2-Metilhekzan	10.926	11.036	-0.99	Büten-2	7.436	7.192	+3.33
3-Metilhekzan	10.659	10.674	-0.13	İsobüten	7.241	7.051	+2.76
2,2-Dimetilpentan	9.941	10.091	-1.49	Peten-1	8.615	8.595	+0.22
2,3-Dimetilpentan	9.941	9.740	+2.07	Peten-2	8.571	8.375	+2.35
2,4-Dimetilpentan	10.330	10.188	+1.39	3-Metil büten-1	8.336	8.314	+0.27
3,3-Dimetilpentan	9.492	9.646	-1.60	Hekzen-1	9.754	9.780	-0.26
2,2,3-Trimetilbütan	8.982	9.327	-3.70	Hekzen-2	9.675	9.515	+1.68
n-Oktan	12.616	12.762	-1.15	Hekzen-3	9.682	9.532	+1.57
2-Metilheptan	12.274	12.415	-1.13	4-Metilpenten-1	9.415	9.360	+0.58
3-Metilheptan	11.970	12.016	-0.38	Hepten-1	11.072	11.085	-0.12
4-Metilheptan	11.852	11.910	-0.49	Hepten-3	11.091	11.075	+0.14
2,2-Dimetilhekzan	11.297	11.233	+0.58	Okten-1	12.311	12.334	-0.19
2,4-Dimetilhekzan	11.297	11.130	+1.47	Okten-3	12.405	12.397	+0.07
2,3-Dimetilhekzan	11.137	10.961	+1.60	Nonen-1	13.889	13.911	-0.16
3,3-Dimetilhekzan	10.609	10.879	-2.48	Deken-1	15.159	15.259	-0.66
2,5-Dimetilhekzan	11.596	11.362	+2.06	Hendeken-1	16.944	17.091	-0.86
3,4-Dimetilhekzan	10.793	10.730	+0.58	Dodeken-1	18.630	18.746	-0.62
2,2,3-Trimetilpentan	9.788	9.785	+0.03	Trideken-1	20.738	20.806	-0.32
2,2,4-Trimetilpentan	10.215	10.212	+0.02	Tetradekan-1	23.047	22.916	+0.57
2,3,4-Trimetilpentan	10.215	9.793	+4.31	Bütadien	7.345	7.554	2.76
2,3,3-Trimetilpentan	9.560	9.600	-0.42	İsopren	8.160	8.023	1.70
n-Nonan	14.029	14.168	-0.98				
2,2,5-Trimetilhekzan	11.971	11.463	+4.43				
n-Dekan	15.532	15.848	-2.00				

Ortalama Hata = % 1.30

En Büyük Hata = % 5.68

TABLO 7- ALİFATİK HİDROKARBONLARIN İNDİRGENMİŞ İSİL İLETKENLİK KATSAYILARI ($T_r = 0.5$)

	Hesaplanan	Deneysel	% Hata		Hesaplanan	Deneysel	% Hata
Propan	5.526	5.456	+0.60	n-Dodekan	16.726	17.076	-2.05
n-Bütan	6.582	6.495	+1.34	n-Tridekan	18.394	18.580	-1.00
2-Metilpropan	6.399	6.342	+0.92	n-Tetradekan	20.192	20.189	+0.02
n-Pentan	7.655	7.606	+0.64	n-Pentadekan	22.133	21.994	+0.63
İsobütan	7.368	7.308	+0.81	n-Hekzadekan	24.228	24.039	+0.79
Neopentan	6.838	7.120	-3.97	n-Heptadekan	26.491	26.289	+0.77
n-Hekzan	8.758	8.856	-1.11	n-Oktadekan	28.933	28.963	-0.10
2-Metilpentan	8.441	8.499	-0.68	n-Nonadekan	31.567	31.719	-0.48
3-Metilpentan	8.280	8.240	+0.49	n-Ekosan	34.389	32.893	+4.55
2,2-Dimetilbütan	7.636	7.782	-1.88	Propen	5.467	5.606	-2.48
2,3-Dimetilbütan	7.878	7.655	+2.92	Büten-1	6.477	6.500	-0.37
n-Heptan	9.905	9.972	-0.66	Büten-2	6.447	6.249	+3.17
2-Metilhekzan	9.587	9.682	-0.97	Isobütен	6.277	6.127	+2.44
3-Metilhekzan	9.348	9.364	-0.18	Penten-1	7.508	7.512	-0.06
2,2-Dimetilpentan	8.702	8.853	-1.71	Penten-2	7.469	7.320	+2.04
2,3-Dimetilpentan	8.702	8.544	+1.84	3-Metilbütén-1	7.257	7.267	-0.13
2,4-Dimetilpentan	9.051	8.938	+1.27	Hekzen-1	8.533	8.552	-0.22
3,3-Dimetilpentan	8.297	8.462	-1.95	Hekzen-2	8.462	8.321	+1.69
2,2,3-Trimetilbütan	7.838	8.182	-4.20	Hekzen-3	8.468	8.336	+1.59
n-Oktan	11.108	11.230	-1.09	4-Metilpenten-1	8.228	8.186	+0.52
2-Metilheptan	10.800	10.924	-1.13	Hepten-1	9.718	9.725	-0.06
3-Metilheptan	10.526	10.574	-0.44	Hepten-3	9.736	9.716	+0.20
4-Metilheptan	10.420	10.480	-0.57	Okten-1	10.833	10.880	-0.43
2,2-Dimetilhekzan	9.921	9.885	+0.37	Okten-3	10.918	10.935	-0.16
2,3-Dimetilhekzan	9.777	9.645	+1.36	Nonen-1	12.253	12.279	-0.21
2,4-Dimetilhekzan	9.921	9.794	+1.29	Deken-1	13.395	13.511	-0.85
3,3-Dimetilhekzan	9.302	9.573	-2.83	Dodeken-1	16.518	16.692	-1.04
2,5-Dimetilhekzan	10.190	9.998	+1.92	Hendeken-1	15.001	15.176	-1.15
3,4-Dimetilhekzan	9.468	9.443	+0.27	Trideken-1	18.415	18.576	-0.87
2,2,3-Trimetilpentan	8.563	8.610	-0.54	Tetradekan-1	20.492	20.507	-0.07
2,2,4-Trimetilpentan	8.948	8.987	-0.43	Bütadien	6.366	6.575	-3.18
2,3,3-Trimetilpentan	8.358	8.448	-1.06	Isopren	7.099	7.014	+1.21
2,3,4-Trimetilpentan	8.948	8.618	+3.83	Ortalama Hata = % 1.29			
n-Nonan	12.379	12.506	-1.01	En Büyük Hata = % 4.55			
2,2,5-Trimetilhekzan	10.528	10.118	+4.04				
n-Dekan	13.731	14.032	-2.15				
n-Hendekan	15.176	15.461	-1.84				

TABLO 8- ALİFATİK HİDROKARBONLARIN İNDİRGENMİŞ İSİL İLETKENLİK KATSAYILARI ($T_r = 0.6$)

	Hesaplanan	Deneysel	% Hata		Hesaplanan	Deneysel	% Hata
Propan	4.685	4.704	- 0.40	n-Dodekan	14.790	15.081	- 1.93
n-Bütan	5.636	5.579	+ 1.02	n-Triðekan	16.295	16.456	- 0.98
2-Metilpropan	5.471	5.447	+ 0.44	n-Tetradekan	17.918	17.926	- 0.05
n-Pentan	6.604	6.558	+ 0.70	n-Pentadekan	19.669	19.576	+ 0.48
2-Metilbütan	6.345	6.301	+ 0.69	n-Hekzadekan	21.560	21.204	+ 1.68
2,2-Dimetilpropan	5.867	6.139	- 4.43	n-Heptadekan	23.602	23.494	+ 0.46
n-Hekzan	7.600	7.663	- 0.83	n-Oktadekan	25.806	25.921	- 0.44
2-Metilpentan	7.313	7.354	- 0.56	n-Nonadekan	28.183	28.421	- 0.83
3-Metilpentan	7.168	7.130	+ 0.54	n-Ekosan	30.730	29.496	+ 4.18
2,2-Dimetilbütan	6.587	6.734	- 2.19	Propen	4.629	4.798	- 3.52
2,3-Dimetilbütan	6.806	6.624	+ 2.75	Bütan-1	5.541	5.584	- 0.78
n-Heptan	8.635	8.660	- 0.29	Bütan-2	5.514	5.368	+ 2.72
2-Metilhekzan	8.348	8.408	- 0.72	Isobütan	5.360	5.262	+ 1.87
3-Metilhekzan	8.131	8.132	+ 0.00	Peten-1	6.471	6.460	+ 0.18
2,2-Dimetilpentan	7.548	7.688	- 1.82	Peten-2	6.436	6.234	- 2.25
2,3-Dimetilpentan	7.548	7.420	+ 1.72	3-Metilbütan-1	6.245	6.249	- 0.05
2,4-Dimetilpentan	7.864	7.762	+ 1.31	Hekzen-1	7.397	7.400	- 0.05
3,3-Dimetilpentan	7.183	7.349	- 2.25	Hekzen-2	7.332	7.200	+ 1.83
2,2,3-Trimetilbütan	6.769	7.106	- 4.73	Hekzen-3	7.338	7.213	+ 1.73
n-Oktan	9.720	9.787	- 0.68	4-Metilpenten-1	7.121	7.083	+ 0.54
2-Metilheptan	9.443	9.520	- 0.81	Hepten-1	8.467	8.446	+ 0.25
3-Metilheptan	9.196	9.215	- 0.21	Hepten-3	8.482	8.438	+ 0.52
4-Metilheptan	9.100	9.133	- 0.37	Okten-1	9.472	9.459	+ 0.14
2,2-Dimetilhekzan	8.649	8.614	+ 0.40	Okten-3	9.549	9.507	+ 0.44
2,3-Dimetilhekzan	8.519	8.406	+ 1.35	Nonen-1	10.753	10.739	+ 0.14
2,4-Dimetilhekzan	8.649	8.535	+ 1.33	Deken-1	11.784	11.856	- 0.61
3,3-Dimetilhekzan	8.090	8.343	- 3.03	Hendeken-1	13.233	13.360	- 0.95
3,4-Dimetilhekzan	8.240	8.229	+ 0.13	Dodeken-1	14.602	14.741	- 0.94
2,5-Dimetilhekzan	8.891	8.713	+ 2.05	Triðekan-1	16.314	16.453	- 0.84
2,2,3-Trimetilpentan	7.424	7.503	- 1.06	Tetradekan-1	18.189	18.209	- 0.11
2,2,4-Trimetilpentan	7.770	7.832	- 0.78	Bütadien	5.440	5.648	- 3.67
2,3,3-Trimetilpentan	7.240	7.362	- 1.67	Isopren	6.102	6.031	+ 1.18
2,3,4-Trimetilpentan	7.770	7.510	+ 3.35	Ortalama Hata = % 1.29			
n-Nonan	10.867	10.937	- 0.63	En Büyük Hata = % 4.73			
2,2,5-Trimetilhekzan	9.196	8.849	+ 3.93				
n-Dekan	12.087	12.314	- 1.84				
n-Hendekan	13.391	13.611	- 1.62				

Ortalama Hata = % 1.29

En Büyük Hata = % 4.73

TABLO 9- ALİFATİK HİDROKARBONLARIN İNDİRGENMİŞ İSİL İLETKENLİK KATSAYILARI ($T_r = 0.7$)

	Hesaplanan	Deneysel	% Hata		Hesaplanan	Deneysel	% Hata
Propan	3.881	3.984	- 2.56	n-Dodekan	13.009	13.215	- 1.55
n-Bütan	4.740	4.744	- 0.07	n-Tridekan	14.369	14.465	- 0.66
2-Metilpropan	4.591	4.631	- 0.86	n-Tetradekan	15.835	15.800	+ 0.22
n-Pantan	5.614	5.598	+ 0.29	n-Pentadekan	17.417	17.298	+ 0.69
2-Metilbütan	5.381	5.379	+ 0.02	n-Hekzadekan	19.125	18.993	+ 0.70
2,2-Dimetilpropan	4.948	5.241	- 5.58	n-Oktadekan	22.960	23.033	- 0.32
n-Hekzan	6.514	6.569	- 0.88	n-Heptadekan	20.969	20.845	+ 0.59
2-Metilpentan	6.255	6.304	- 0.77	n-Nonadekan	25.107	25.285	- 0.70
3-Metilpentan	6.124	6.112	+ 0.21	n-Ekosan	27.408	26.264	+ 4.36
2,2-Dimetilbütan	5.599	5.772	- 3.00	Propen	3.831	4.063	- 5.72
2,3-Dimetilbütan	5.797	5.678	+ 2.10	Bütan-1	4.654	4.748	- 1.97
n-Heptan	7.449	7.453	- 0.05	Bütan-2	4.630	4.564	+ 1.45
2-Metilpentan	7.190	7.236	- 0.64	İsobütan	4.491	4.475	+ 0.36
3-Metilhekzan	6.994	7.000	- 0.06	Peten-1	5.495	5.515	- 0.37
2,2-Dimetilpentan	6.468	6.617	- 2.25	Peten-2	5.463	5.373	+ 1.66
2,3-Dimetilpentan	6.468	6.386	+ 1.28	3-Metilbüten-1	5.290	5.335	- 0.83
2,4-Dimetilpentan	6.753	6.680	+ 1.09	Hekzen-1	6.330	6.343	- 0.20
3,3-Dimetilpentan	6.138	6.325	- 2.95	Hekzen-2	6.272	6.172	+ 1.63
2,2,3-Trimetilbütan	5.764	6.115	- 5.75	Hekzen-3	6.278	6.183	+ 1.53
n-Oktan	8.430	8.455	- 0.30	4-Metilpenten-1	6.082	6.072	+ 0.17
2-Metilheptan	8.179	8.225	- 0.56	Hepten-1	7.297	7.268	+ 0.39
3-Metilheptan	7.955	7.961	- 0.07	Hepten-3	7.311	7.262	+ 0.68
4-Metilheptan	7.869	7.891	- 0.28	Okten-1	8.205	8.172	+ 0.41
2,2-Dimetilhekzan	7.462	7.442	+ 0.26	Okten-3	8.275	8.213	+ 0.75
2,3-Dimetilhekzan	7.344	7.262	+ 1.14	Nonen-1	9.363	9.312	+ 0.54
2,4-Dimetilhekzan	7.462	7.374	+ 1.19	Deken-1	10.294	10.320	- 0.25
3,3-Dimetilhekzan	6.957	7.207	- 3.47	Hendeken-1	11.603	11.668	- 0.56
3,4-Dimetilhekzan	7.092	7.109	- 0.24	Dodeken-1	12.840	12.918	- 0.60
2,5-Dimetilhekzan	7.681	7.527	+ 2.04	Trideken-1	14.386	14.462	- 0.53
2,2,3-Trimetilpentan	6.355	6.482	- 1.97	Tetradekan-1	16.079	16.049	+ 0.19
2,2,4-Trimetilpentan	6.668	6.766	- 1.44	Bütadien	4.563	4.802	- 4.97
2,3,4-Trimetilpentan	6.668	6.488	+ 2.78	Isopren	5.161	5.164	- 0.06
2,3,3-Trimetilpentan	6.188	6.360	- 2.71				
n-Nonan	9.466	9.484	- 0.19				
2,2,5-Trimetilhekzan	7.956	7.674	+ 3.69				
n-Dekan	10.568	10.719	- 1.41				
n-Hendekan	11.746	11.888	- 1.20				
				Ortalama Hata = % 1.32			
				En Büyük Hata = % 5.75			

VI. ETER, ALDEHİD, KETON VE ESTERLER

Geliştirilen bağıntının diğer organik sıvılara da uygulanabilmesi pratik değerini daha fazla artıracagından bu konu üzerinde de çalışmalar yapılmıştır. İlk aşamada eter, aldehid, keton ve esterler gibi kutupsal, ancak hidrojen-oksijen bağı taşımayan sıvıların ele alınması uygun görülmüş ve bu sıvılar için indirgenmiş ısıl iletkenlik katsayısının aşağıdaki gibi ifade edilebileceği varsayılmıştır:

$$\lambda^* = \lambda_h^* + \lambda'_{kd} \quad (VI-1)$$

(VI-1) denklemine göre verilen şartlarda kutupsal bir sıvının indirgenmiş ısıl iletkenlik katsayısı, aynı şartlarda homomorfunun indirgenmiş ısıl iletkenlik katsayısı λ_H^* ile söz konusu sıvının türüne göre tanımlanacak bir düzeltme terimi olan λ'_{kd} 'nin toplamına eşit olacaktır. Kutupsal bir sıvının homomorfu ise, moleküldeki oksijenlerin yerine metil grupları yerleştirilerek elde edilen alifatik hidrokarbondur(35). Böylece (V-3), (V-4) ve (V-10) denklemleri kutupsal sıvılar için de kullanılabilecektir. Öte yandan moleküldeki karbon sayısının beşten fazla olması durumunda karbon zincirindeki değişik grupların ısıl iletkenlik katsayısı üzerindeki etkilerinin ihmal edilebileceği olefinler ve diolefiner için önceki bölümde elde edilen sonuçlardan anlaşılmaktadır. O halde karbon sayısı beş veya daha fazla olan kutupsal sıvılar için ikinci bir varsayıım yapılabilir:

$$\lambda'_{kd} \approx 0. \quad (VI-2)$$

Sonuç olarak, karbon sayısı beş veya daha fazla olan ve oksijen-hidrojen bağı taşımayan bir kutupsal sıvının indirgenmiş ıslıl iletkenlik katsayısunın, homomorfunun aynı indirgenmiş sıcaklıktaki indirgenmiş ıslıl iletkenlik katsayısına eşit olacağı önerilmiştir. Bu öneri, 3 eter, 10 aldehid ve keton ile 9 ester için atmosferik basınçta ve 0.4 ile 0.7 arasında değişik indirgenmiş sıcaklıklarda sinanmış, toplam 54 veri noktası için ortalama hatanın % 2.7, en büyük hatanın ise % 6.8 olduğu görülmüştür.

Tüm sonuçların ve deneysel veriler için yararlanılan kaynakların gösterildiği 10 no.lu tablonun incelenmesinden anlaşılabileceği gibi, yapılan ikinci varsayıma uygun olarak karbon sayısı arttıkça hata yüzdesi de azalarak deneysel hata sınırları içinde kalmaktadır. Bu da geliştirilen bağıntının alifatik hidrokarbonlar dışında oksijen-hidrojen bağı taşıyan ve karbon sayısı beş veya daha fazla olan kutupsal sıvılar için de geçerli olduğunu kanıtlamaktadır. Ayrıca V. bölümdeki benzer yöntemler kullanılarak değişik tür sıvılar için uygun λ'_{kd} 'ler bulunduğu takdirde molekül ağırlığı düşük olan kutupsal sıvıların da bağıntının kapsamına alınabilecegi anlaşılmaktadır.

TABLO 10- ETER, ALDEHİD, KETON VE ESTERLER İÇİN İNDİRGENMİŞ
İSİL İLETKENLİK KATSAYILARI

	<u>Homomorf</u>	<u>T_r</u>	<u>Hesaplanan</u>	<u>Deneysel (*)</u>	<u>% Hata</u>
Etilbütileter	n-Heptan	0.552	9.235	9.447 (39)	- 2.24
		0.650	8.033	7.952 (39)	+ 1.01
Dibütileter	n-Nonan	0.505	12.299	12.589 (39)	- 2.30
		0.600	10.867	10.550 (39)	+ 3.01
Dihekzileter	n-Tridekan	0.446	19.611	19.921 (39)	- 1.56
		0.500	18.394	18.202 (39)	+ 1.05
Bütanal	n-Pentan	0.400	8.778	8.444 (13)	+ 3.94
		0.500	7.655	7.729 (13)	- 0.97
		0.600	6.604	6.965 (13)	- 5.17
Pentanal	n-Hekzan	0.500	8.758	8.526 (13)	+ 2.72
		0.600	7.696	7.682 (13)	- 1.08
		0.700	6.520	6.764 (13)	- 3.70
Tetradekanal (+)	n-Pentadekan	0.400	24.870	24.359 (13)	+ 2.10
		0.500	22.132	22.296 (13)	- 0.73
		0.600	19.669	20.090 (13)	- 2.09
		0.700	17.417	17.689 (13)	- 1.54
Metiletiketon	2-Metilbütan	0.400	8.459	8.225 (13)	+ 2.84
		0.500	7.368	7.528 (13)	- 2.13
		0.600	6.345	6.783 (13)	- 6.46
Dietiketon	3-Metilpentan	0.450	8.866	8.826 (13)	+ 0.45
		0.500	8.280	8.430 (13)	- 1.78
		0.600	7.168	7.596 (13)	- 5.63
Metilpropilketon	2-Metilpentan	0.500	8.441	8.197 (13)	+ 2.98
		0.600	7.313	7.386 (13)	- 0.98
Heptanon-2 (+)	2-Metilheptan	0.400	12.274	11.696 (13)	+ 4.94
		0.500	10.800	10.786 (13)	+ 0.14
		0.600	9.443	9.646 (13)	- 2.11
		0.700	8.179	8.494 (13)	- 3.71
Heptanon-3 (+)	3-Metilheptan	0.400	11.970	11.650 (13)	+ 2.75
		0.500	10.526	10.663 (13)	- 1.28
		0.600	9.196	9.608 (13)	- 4.29
Heptanon-4 (+)	4-Metilheptan	0.400	11.852	11.607 (13)	+ 2.11
		0.500	10.420	10.624 (13)	- 1.92
		0.600	9.100	9.573 (13)	- 4.94

TABLO 10- (Devam)

	<u>Homomorf</u>	<u>T_r</u>	<u>Hesaplanan</u>	<u>Deneysel (*)</u>	<u>% Hata</u>
Oktanon-2 ⁽⁺⁾	2-Metiloktan	0.500	12.085	11.875 (13)	+ 1.78
		0.600	10.602	10.700 (13)	- 0.91
Propilasetat	2-Metilhekzan	0.550	8.956	9.535 (38)	- 6.07
		0.600	8.348	8.728 (38)	- 4.36
Etilpropionat	3-Metilhekzan	0.600	8.131	8.724 (38)	- 6.79
		0.650	7.554	7.842 (38)	- 3.67
Butilasetat	2-Metilheptan	0.550	10.108	10.152 (38)	- 0.43
		0.600	9.443	9.295 (38)	+ 1.58
Propilpropionat	3-Metilheptan	0.550	9.848	10.218 (38)	- 3.62
		0.600	9.196	9.303 (38)	- 1.16
Etilbüтирat	4-Metilheptan	0.550	9.747	10.148 (38)	- 3.95
		0.600	9.100	9.228 (38)	- 1.39
Amilasetat ⁽⁺⁾	2-Metiloktan	0.550	11.328	11.123 (38)	+ 1.85
		0.600	10.602	10.143 (38)	+ 4.53
Amilpropionat ⁽⁺⁾	3-Metilnonan	0.550	12.355	12.416 (38)	- 0.50
		0.600	11.577	11.171 (38)	+ 3.63
Oktilasetat ⁽⁺⁾	2-Metilhendekan	0.455	17.380	17.797 (38)	- 2.34
		0.500	16.468	16.250 (38)	+ 1.32
Desilasetat ⁽⁺⁾	2-Metiltetradekan	0.436	21.510	21.249 (39)	+ 1.23
		0.500	19.944	18.803 (39)	+ 6.06

Ortalama Hata = % 2.70

En Büyük Hata = % 6.80

(*) Deneysel verilerin alındığı kaynak parantez içinde gösterilmiştir.

(+) Kritik sabitler Lydersen yöntemi ile hesaplanmıştır.

VII. İSİL İLETKENLİK KATSAYILARININ BASINÇLA DEĞİŞMESİ

Alifatik hidrokarbonlar ve hidrojen-oksijen bağı olmayan kutupsal sıvılar için atmosferik basınçta çok başarılı sonuçlar elde edildiği önceki bölümlerde gözlenmiştir. Ancak ısil iletkenlik katsayılarının yüksek basınçlarda da doğru olarak hesaplanabilmesi geliştirilen bağıntının daha kolay benimsenmesini sağlayacaktır. Bu amaçla bağıntının temel denklemi olan (V-3) ele alınmış ve içsel serbestlik dereceleri, küresel simetriden sapmalar gibi basıncın pek etkilemediği etkenlerin bileskesinden oluştuguna göre λ_d^* terimin basınçla değişmesinin ihmali edilebileceği varsayılmıştır. Bu durumda verilen şartlarda IV. bölümde anlatıldığı şekilde hesaplanacak λ_m^* değerleri, (V-10) denklemi kullanılarak hesaplanan λ_d^* değerlerine eklendiğinde, söz konusu sıvı için ısil iletkenlik katsayıları yüksek basınçlarda da saptanabilecektir.

Bu yaklaşımın geçerliliğini sınamak üzere propan, n-bütan ve n-pentan için ısil iletkenlik katsayıları değişik sabit sıcaklıklarda 340 atmosfere kadar basınçlar için hesaplanmış ve deneysel verilerle karşılaştırılmıştır. λ_m^* değerlerinin hesaplanması için gerekli olan yoğunluk verileri 30, 25 ve 37 no.lu kaynaklardan, ısil iletkenlik katsayıları için deneysel değerler de 21 no.lu kaynaktan alınmıştır. Ancak ısil iletkenlik katsayısı verileri atmosferik basınçca doğru uzatıldıklarında ESDU verilerinden sürekli olarak % 4-5 daha fazla oldukları gözlenmiştir. (V-10) denklemi ESDU verilerin-

den yararlanılarak elde edilmiş olduğundan bunun hesaplanacak ısıl iletkenlik katsayıları ile 21 no.lu kaynaktan alınan deneysel veriler arasında yaklaşık aynı oranda sapmalara neden olacağı bellidir. Bu nedenle elde edilecek sonuçların doğrulanabilmesi için yüksek basınçlardaki ısıl iletkenlik katsayılarının alçak basınçtaki (≈ 14 atm) değerlere oranı olan λ^* üzerinde durulmuş ve karşılaştırmalar bu oranlar üzerinde yapılmıştır.

11 no.lu tabloda görüldüğü gibi basıncın ısıl iletkenlik katsayıları üzerindeki etkisi her üç sıvı için de doğrularak saptanabilmiştir. Bu da bağıntının atmosferik basıncın yanısıra yüksek basınçlarda da güvence ile kullanılabileceği ni göstermektedir.

TABLO 11- İSİL İLETKENLİK KATSAYILARININ BASINÇLA DEĞİŞMESİ

	<u>Sıcaklık</u> °(K)	<u>Basınç</u> (atm)	<u>λ^*</u> <u>p</u> (Hesaplanan)	<u>λ^*</u> <u>p</u> (Deneyel)	<u>% Hata</u>
Propan	310.9	13.6	-	1.000	-
	204.1		1.232	1.191	+ 3.44
	340.1		1.353	1.281	+ 5.62
n-Bütan	310.9	13.6	-	1.000	-
	204.1		1.078	1.076	+ 0.18
	340.1		1.142	1.137	+ 0.44
	344.3	13.6	-	1.000	-
	204.1		1.105	1.095	+ 0.92
	340.1		1.186	1.174	+ 1.02
	377.6	13.6	-	1.000	-
	204.1		1.145	1.122	+ 2.05
	340.1		1.252	1.219	+ 2.71
n-Pentan	310.9	13.6	-	1.000	-
	204.1		1.076	1.097	- 1.91
	340.1		1.127	1.148	- 1.83
	344.3	13.6	-	1.000	-
	204.1		1.103	1.126	- 2.04
	340.1		1.165	1.189	- 2.02
	377.6	13.6	-	1.000	-
	204.1		1.134	1.158	- 2.07
	340.1		1.207	1.234	- 2.19

Ortalama Hata = % 2.03

En Büyük Hata = % 5.62

VIII. SONUCLARIN DEĞERLENDİRİLMESİ

Bu çalışmada elde edilen sonuçların aşağıda kısa bir değerlendirmesi yapılmıştır:

(1) Argon, kripton ve ksenon için ıslı iletkenlik katsayılarının hem doygunluk eğrisi boyunca hem de yüksek basınçlarda deneysel hata sınırları içinde hesaplanabilmesi, III. bölümde ayrıntılı olarak anlatılan kuramsal yaklaşımın geçerliliğini kanıtlamaktadır. Moleküler düzeydeki ısı aktarımı açısından tek atomlu bu sıviların bir sert küre sistemi gibi davranışını anlaşılmaktadır.

(2) P-V-T verilerinden elde edilen sert küre çapı ıslı iletkenlik katsayılarının hesaplanması için başarı ile kullanılmıştır. Böylece ilk kez, bugüne kadar literatürde(36,40) belirtilenin aksine, P-V-T verileri ile viskozite, ıslı iletkenlik ve özdifüzyon gibi aktarım verileri arasında bir uyum gerçekleştirilmiş olmaktadır.

(3) ıslı iletkenlik katsayıları ile indirgenmiş sıcaklık ve karbon sayısı arasında geliştirilen yeni bağıntı ile 69 alifatik hidrokarbon için atmosferik basınçta bugüne kadar önerilen tüm yöntemlerden daha iyi sonuçlar elde edilmişdir. Yeni bağıntının kullandığı tüm girdilerin kolaylıkla saptanabilmesi ve uygulanabildiği sıcaklık aralığı açısından da bugüne kadar geliştirilmiş en başarılı iki yöntemden daha üstün olduğu 12 no.lu tablonun incelenmesinden anlaşılacaktır. Bunun yanısıra çok sayıda sıvı üzerinde denenmiş olması

deneysel ıslı iletkenlik katsayıları bilinmeyen alifatik hidrokarbonlar için yapılacak tahminlere istatistiksel bir güvence getirmektedir.

TABLO 12- YENİ BAĞINTININ SAKIADIS-COATES VE ROBBINS-KINGREA YÖNTEMLERİ İLE KARŞILAŞTIRILMASI

<u>Yöntem</u>	<u>Girdiler</u>	<u>Sıcaklık Aralığı</u>	<u>Ortalama Hata (%)</u>	<u>En Büyük Hata (%)</u>
Sakiadis-Coates	T, p, C_p, L, u_s	$0.4 < T_r < 0.7$	2.6	6.0
Robbins-Kingrea	$T, p, C_p, \Delta H_v, M, T_b, H^+, n^+$	$0.4 < T_r < 0.7$	2.6	7.9
Yeni bağıntı	T, N, M, T_c, P_c	$0.3 < T_r < 0.8$	1.3	5.7

† Robbins-Kingrea yöntemine özgün iki parametre.

(4) En az karşılaştırmalı haller ilkesinden yararlanan diğer bağıntılar kadar iyi sonuçlar vermesine karşın yeni bağıntı bunlar gibi P-V-T verilerine ve bilgisayar kullanımına gereksinme göstermemektedir.

(5) ıslı iletkenlik katsayıları atmosferik basıncın yanısına yüksek basınçlarda da doğru olarak hesaplanabilmiştir. Ancak bunun için söz konusu sıvının verilen şartlardaki yoğunluğunun da bilinmesi gereklidir. Bu da yöntemin uygulanabilme olanağını yüksek basınçlardaki yoğunluk verilerinin varlığı ve erişilebilirliği ile kısıtlamaktadır.

(6) Geliştirilen bağıntı alifatik hidrokarbonların oksijen-hidrojen bağı taşımayan oksijenli türevleri olan eter,

aldehid, keton ve esterler gibi kutupsal sıvılara da başarı ile uygulanabilmistiir. Ancak sayısal sonuçların deneysel hata sınırları içinde kalabilmesi için karbon sayısı beşten az olan bileşikler bu uygulamanın kapsamı dışında tutulmuştur.

(7) Değişik türden organik sıvılara uygulanabilme açısından kapsamının oldukça dar olması yeni bağıntının en önemli eksikliğidir. Ancak bu çalışmada kine benzer yöntemler kullanılarak her homolog dizi için değişik λ_d^* fonksiyonlarının bulunması ve böylece karbon sayısı beşten az olan aldehid, keton, eter ve esterler ile alkol, glikol ve organik asitler gibi kutupsal sıvıların yanısıra aromatik ve organohalojen bileşiklerin de bağıntının kapsamına alınması olasılığı oldukça yüksektir. Gerçekten de yapılan ön araştırmalar aromatik hidrokarbonlar için değişik $\lambda_d^*(T_r)$ ve $\lambda_d''(N)$ fonksiyonlarının tanımlanabileceğini ve alkilbenzenler için alifatik hidrokarbonlar kadar başarılı sonuçlar elde edilebileceğini göstermişdir.

Sonuç olarak, ısıl iletkenlik katsayılarının hesaplanması için giriş kısmında belirtilen niteliklere uygun bir yöntem geliştirilmiş olduğu görülmektedir. Alifatik hidrokarbonlar için bugüne kadar önerilen tüm yöntemlerden daha iyi sonuçlar elde edilmesinin yanısıra aldehid, keton, eter ve esterler üzerinde yapılan deneme ve burada yer verilmeyen aromatik bileşikler üzerindeki ön araştırma, ısıl iletkenlik katsayısı ile indirgenmiş sıcaklık ve karbon sayısı arasında

geliştirilen bu yeni bağıntının her homolog dizi için gerektiğinde değişiklikler yapılarak tüm organik sıvılara uygulanabileceğini göstermektedir.

KAYNAKLAR

- 1- Ascarelli,P., Paskin,A., Phys.Rev., 165, 222 (1967).
- 2- Bienkowski,P.R., Chao,K.C., J.Chem.Phys., 62, 615 (1975).
- 3- Brunel,R.F., Bibber,K.V., "Int.Crit. Tables", Vol.3, s.27
- 30.
- 4- Carnahan,N., Starling,K., J.Chem.Phys., 51, 635 (1969).
- 5- Christensen,P.L., Fredenslund,A.A., Chem.Eng.Sci., 35,
871 (1980).
- 6- Clippe,P., Evrard,R., J.Chem.Phys., 64, 3217 (1976).
- 7- Cohen,Y., Sandler,S.I., Ind.Eng.Chem.Fund., 19, 186 (1980)
- 8- Dymond,J.H., J.Chem.Phys., 60, 969 (1974).
- 9- Dymond,J.H., Alder,B.J., J.Chem.Phys., 45, 2061 (1966).
- 10- Dymond,J.H., Physica, 75, 100 (1974).
- 11- Engineering Sciences Data Unit, Item No. 75003 (1975).
- 12- Engineering Sciences Data Unit, Item No. 75009 (1975).
- 13- Engineering Sciences Data Unit, Item No. 71024 (1971).
- 14- Gambill,W.R., Chem.Eng., 64, 237 (1957).
- 15- Hanley,H.J.M., Cryogenics, 16, 643 (1976).

- 16- Hirschfelder, J.O., Curtiss, J.F., Bird, R.B., "Molecular Theory of Gases and Liquids", s.633, 4. baskı (1967).
- 17- Hirschfelder, J.O., Curtiss, J.F., Bird, R.B., "Molecular Theory of Gases and Liquids", s.619, 4. baskı (1967).
- 18- Horrocks, J.K., McLaughlin, E., Trans. Far. Soc., 56, 205 (1960).
- 19- Ikkenberry, L.D., Rice, S.A., J. Chem. Phys., 39, 156 (1963).
- 20- Kirkwood, J.G., Levinson, V.A., Alder, B.J., J. Chem. Phys., 20, 929 (1952).
- 21- Mathur, V.K., Singh, J.D., Fitzgerald, W.M., J. Chem. Eng. Japan, 11, 67 (1978).
- 22- Mc Laughlin, E., Chem. Rev., 64, 390 (1964).
- 23- Murad, S., Gubbins, K.E., Chem. Eng. Sci., 32, 499 (1977).
- 24- Napiorkowski, M. ve diğerleri, J. Chem. Phys., 66, 1422 (1977).
- 25- Olds, R.H. ve diğerleri, Ind. Eng. Chem., 36, 282 (1944).
- 26- Pachaiyappan, V., et.al., J. Chem. Eng. Data, 11, 73 (1966).
- 27- Pitzer, K.S., J. Chem. Phys., 7, 583 (1939).
- 28- Pitzer, K.S., et.al., J. Am. Chem. Soc., 77, 3433 (1955).
- 29- Powers, R.W., Mattox, R.W., Johnston, H.L., J. Am. Chem. Soc., 76, 5968 (1954).

- 30- Reamer,H.H., Sage,B.H., Lacey,W.N., Ind.Eng.Chem., 41, 482 (1949).
- 31- Reid,R.C., Prausnitz,J.M., Sherwood,T.K., "The Properties of Gases and Liquids", s.525, 3. baskı (1977).
- 32- Reid,R.C., Prausnitz,J.M., Sherwood,T.K., "The Properties of Gases and Liquids", s.519, 3. baskı (1977).
- 33- Reid,R.C., Sherwood,T.K., "The Properties of Gases and Liquids", s.9, 2. baskı (1966).
- 34- Reid,R.C., Sherwood,T.K., "The Properties of Gases and Liquids", s.12, 2. baskı (1966).
- 35- Reid,R.C., Sherwood,T.K., "The Properties of Gases and Liquids", s.59, 2. baskı (1966).
- 36- Rosenfeld,Y., J.Chem.Phys., 66, 1380 (1977).
- 37- Sage,B.H., Lacey,W.N., Ind.Eng.Chem., 34, 730 (1942).
- 38- Sakiadis,B.C., Coates,J., AICh.E.J., 1, 275 (1955).
- 39- Sakiadis,B.C., Coates,J., AICh.E.J., 3, 121 (1957).
- 40- Sandler,S.I., Fizsdon,J.K., Physica, 95A, 602 (1979).
- 41- Street,W.B., Staveley,L.A.K., J.Chem.Phys., 50, 2302 (1968).
- 42- Street,W.B., Staveley,L.A.K., J.Chem.Phys., 55, 2495 (1971).

- 43- Street,W.B., Sagan,L.S., Staveley,L.A.K., J.Chem.Thermo.,
5, 933 (1973).
- 44- Teja,A.S., Rice,P., Chem.Eng.Sci., 36, 418 (1981).
- 45- Uhlir,A.Jr., J.Chem.Phys., 20, 463 (1952).
- 46- Vadovic,J.C., Colver,C.P., Phil.Mag., 21, 971 (1970).
- 47- Vadovic,J.C., Colver,C.P., Phil.Mag., 24, 509 (1971).
- 48- Viswanath,D.S., AICh.E.J., 13, 850 (1967).
- 49- Ziebland,H., Burton,T.A.J., J.Chem.Eng.Data, 6, 579
(1961).

EK-I

FİZİKSEL SABİTLER

Bu çalışmada ısıl iletkenlik katsayıları hesaplanan sıvıların fiziksel sabitleri için aşağıdaki tabloda gösterilen değerler kullanılmıştır.

	M (g/gmol)	T _c (°K)	P _c (atm)	V _c (cm ³ /g mol)
--	---------------	------------------------	-------------------------	--

Asal gazlar:

Argon	39.94	150.8	48.1	74.9
Kripton	83.80	209.4	54.3	91.2
Ksenon	131.30	289.7	57.6	118.0

Parafinler:

Metan	16.04	190.6	45.4	99.0
Propan	44.10	369.8	41.9	200.0
2-Metilpropan	58.12	408.1	36.0	
n-Pantan	72.15	469.8	33.3	315.0
2-Metilbütan	72.15	460.5	33.4	
Neopantan	72.15	433.8	31.6	
n-Hekzan	86.17	507.9	29.3	370.0
2-Metilpentan	86.17	497.5	29.7	
3-Metilpentan	86.17	504.4	30.8	
2,2-Dimetilbütan	86.17	488.7	30.4	
2,3-Dimetilbütan	86.17	499.9	30.9	
n-Heptan	100.20	540.2	27.0	425.0
2-Metilheptan	100.20	530.4	27.0	
3-Metilheptan	100.20	535.3	27.8	
2,2-Dimetilpentan	100.20	520.6	27.4	
2,3-Dimetilpentan	100.20	537.4	28.7	
2,4-Dimetilpentan	100.20	519.8	27.0	
3,3-Dimetilpentan	100.20	536.4	29.1	

	<u>M</u> (g/gmol)	<u>T_c</u> (°K)	<u>P_c</u> (atm)	<u>V_c</u> (cm ³ /g mol)
2,2,3-Timetilbütan	100.20	531.2	29.2	
n-Oktan	114.22	568.9	24.6	480.0
2-Metilheptan	114.22	559.7	24.5	
3-Metilheptan	114.22	563.7	25.1	
4-Metilheptan	114.22	561.8	25.1	
2,2-Dimetilhekzan	114.22	549.9	25.0	
2,3-Dimetilhekzan	114.22	563.5	25.9	
2,4-Dimetilhekzan	114.22	553.6	25.2	
2,5-Dimetilhekzan	114.22	550.1	24.6	
3,3-Dimetilhekzan	114.22	562.1	26.2	
3,4-Dimetilhekzan	114.22	568.9	26.6	
2,2,3-Timetilpentan	114.22	563.5	26.9	
2,2,4-Timetilpentan	114.22	544.0	25.4	
2,3,3-Timetilpentan	114.22	573.6	27.8	
2,3,4-Timetilpentan	114.22	566.5	26.9	
n-Nonan	128.25	594.2	22.8	535.0
2,2,5-Timetilhekzan	128.25	568.0	23.0	
n-Dekan	142.28	617.2	20.8	590.0
n-Hendekan	156.30	638.8	19.4	645.0
n-Dodekan	170.33	658.3	18.0	700.0
n-Tridekan	184.36	675.8	17.0	755.0
n-Tetradekan	198.38	694.0	16.0	810.0
n-Pentadekan	212.41	707.2	15.0	865.0
n-Hekzadekan	226.44	720.0	14.0	920.0
n-Heptadekan	240.46	733.2	13.0	975.0
n-Oktadekan	254.49	746.2	11.9	1030.0
n-Nonadekan	268.51	756.2	11.0	1085.0
n-Ekosan	282.54	767.0	11.0	1140.0

Olefinler:

Propen	42.08	365.1	45.4
Büten-1	56.10	419.6	39.7
Büten-2	56.10	431.6	40.5

	M (g/gmol)	T _c (°K)	P _c (atm)	V _c (cm ³ /g mol)
Isobüten	56.10	417.9	39.5	
Penten-1	70.13	464.8	35.1	
Penten-2	70.13	475.5	36.0	
3-Metilbüten-1	70.13	450.0	34.7	
Hekzen-1	84.16	504.0	31.3	
Hekzen-2	84.16	517.0	32.4	
Hekzen-3	84.16	518.0	32.2	
4-Metilpenten-1	84.16	493.2	31.8	
Hepten-1	98.19	537.2	28.0	
Hepten-3	98.19	548.2	28.0	
Okten-1	112.21	566.6	25.9	
Okten-3	112.21	578.2	25.5	
Nonen-1	126.24	594.2	23.1	
Deken-1	140.27	615.0	21.8	
Hendeken-1	154.30	637.0	19.7	
Dodeken-1	168.33	657.0	18.3	
Trideken-1	182.36	674.0	16.8	
Tetradeken-1	196.38	689.0	15.4	

Diolefiner:

Bütadien	54.09	425.0	42.7
Isopren	68.13	484.0	38.0

Eterler:

Etilbütileter	102.18	531.0	30.0
Dibütileter	130.23	580.0	25.0
Dihekzileter	186.34	657.0	18.0

Aldehidler:

Bütanal	72.11	524.0	40.0
Pantanal	86.13	554.0	35.0
Tetradekanal	212.41	718.0	16.5

	<u>M</u> (g/gmol)	<u>T_c</u> (°K)	<u>P_c</u> (atm)	<u>V_c</u> (cm ³ /g mol)
--	----------------------	------------------------------	-------------------------------	--

Ketonlar:

Metiletilketon	72.11	535.6	41.0
Dietilketon	86.13	561.0	36.9
Metilpropilketon	86.13	564.0	38.4
Heptanon-2	114.19	612.0	28.8
Heptanon-3	114.19	607.0	28.8
Heptanon-4	114.19	603.0	28.8
Oktanon-2	128.22	624.2	26.0

Esterler:

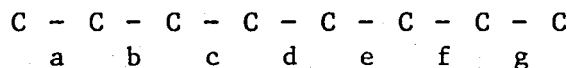
Propilasetat	102.13	549.4	32.9
Etilpropionat	102.13	546.0	33.2
Bütilasetat	116.16	579.0	31.0
Propilpropionat	116.16	578.0	30.7
Etilbüтирat	116.16	566.0	31.0
Amilasetat	130.18	589.5	28.1
Amilpropionat	144.21	597.8	25.5
Oktilasetat	172.27	644.0	21.5
Desilasetat	200.32	672.5	18.5

EK-2

WIENER SAYILARININ HESAPLANMASI

Wiener sayısı, bir hidrokarbon molekülünde herhangi bir bağın iki tarafındaki karbon sayılarının birbiri ile çarpılarak, bu işlemin her karbon-karbon bağı için tekrarlanması sonucunda elde edilen toplam sayıdır. Aşağıdaki örnekler bu konunun daha iyi anlaşılmasına yardımcı olacaktır.

(1) n-Oktan için Wiener sayısı:



$$a: 1 \times 7 = 7$$

$$b: 2 \times 6 = 12$$

$$c: 3 \times 5 = 15$$

$$d: 4 \times 4 = 16$$

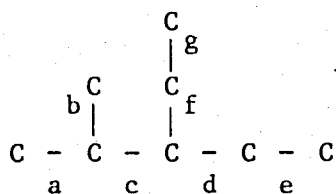
$$e: 5 \times 3 = 15$$

$$f: 6 \times 2 = 12$$

$$g: 1 \times 7 = \underline{7}$$

$$84 = W_N$$

(2) 2-Metil 3-Etil Pentan için Wiener sayısı:



$$a : 1 \times 7 = 7$$

$$b : 1 \times 7 = 7$$

$$c : 3 \times 5 = 15$$

$$d : 2 \times 6 = 12$$

$$e : 1 \times 7 = 7$$

$$f : 2 \times 6 = 12$$

$$g : 1 \times 7 = \underline{7}$$
$$67 = W_I$$